

Einleitung,

No 5095 / 7 /

In ^{Abhandlung welche ich} einer ^{(in Wiedemann's Annalen im Jahre}
~~1896~~ ^{*)} veröffentlichten ~~Abhandlung~~ ^{*)} sowie in dem
Reprinte ^{*)} ~~selben~~ ^{*)} ich dem Pariser physikalischen
Congresse 1900 ^{**)} vorgelegt, ~~hatte ich~~ ^{wurde} gereicht, dass
die Drehwaage zur Untersuchung der räumlichen
Veränderungen der Schwerkraft, insbesondere auch
zur Bestimmung des Krümmungsverhältnisses
seiner Niveauflächen mit Erfolg benützt werden
kann.

Damals konnte ich nur in wenigen Beispielen
zeigen wie meine theoretischen Erörterungen und
im Laboratorium erprobten Beobachtungsmethoden
auch bei Untersuchungen im Freien Verwendung
finden. Seither ist es mir aber möglich geworden
durch Unterstützung der unq. Akademie der Wissen-
schaften, und besonders durch die Munificenz des

*) Untersuchungen über Gravitation und Erdmagnetismus,
Wiedemanns Annalen Band 59, ~~1896~~ 1896, 354-400

**) Étude sur les surfaces de niveau de. Rapports présentés
au Congrès international de Physique 1900 Tome III 371-393

habe ruhigen Unterstützers aller wissenschaftlichen
Bestrebungen in Ungarn, des Herrn A. v. Lemsey
meine Apparate zu vervollkommenen und ^{auch} systematische
Beobachtungen ⁱⁿ ~~an~~ größeren Gebieten auszuführen.

So: im Jahre 1901 auf der Eindecke des Balaton
(Plattensee) an 33 Stationen,

im Jahre 1902 nördlich der Fruska Gora an
20 Stationen,

im Jahre 1903 wiederholt am Balaton an 12,
dann von der Fruska Gora bis Spebedka an 19
und bei Arad an 19 Stationen,

im Jahre 1904 an 70 Stationen das ganze
Fruska Gora Gebirge umschliessend,

im Jahre 1905 an 75 Stationen von Arad
über Versey bis Oravica ~~und von Versey~~
~~das sich unter~~

~~die nach Alibunag~~
~~den alluvialen Aufschüttungen der Ebene~~

das ~~Versey~~ Gebirge in seiner ^{Fortsatzung} ~~sich~~ unter
den alluvialen Aufschüttungen der Ebene
verfolgend.

Fortsatzung

Aufschüttungen

~~Zur Zeit des~~
~~in Jahre~~
 In 1906 ~~Zeit des Versuches~~ ~~der Association~~
 in ~~London~~ sind die ~~Stationen~~ ^{schon früher} ~~be-~~ ^{begonnen}
 gesetzt worden, und erstreckten sich bis
 Ende November auf weitere 84 Stationen.

[Den größten Theil dieses Arbeitens bewogte
 Herr Dr. D. Pekár, der mir seit Beginn dieses
 meines Versuches hilfreich zur Seite stand,
~~mit ihm~~ ~~zusammen~~ ~~mit~~ ~~ihm~~
 beobachteten in den Jahren 1902-1904 Herr
 Dr. L. Steiner ~~der~~ ^{besonders} ~~besonders~~ die gleichzeitig
 fortgeführten magnetischen Messungen bewogte,
 und seit 1905 Herr J. Fekete. An dem ersten
 Versuche am Balaton nahmen auch Herr
 Professor L. v. Löry, Professor Dr. v. Kövesligethy,
 Prof. J. v. Cholnoky und Baron Harbányi ~~Theil~~ ^{Teil} teil

[So häufte sich ein ansehnliches Beobachtungsmaterial zusammen, denen vollständige Zusammenstellung nicht die Aufgabe dieser meine Abhandlung sein kann. Ich will es aber vermeiden ^{eine} ~~zu~~ Kurze Darstellung ~~zu~~ zu geben:

erstens, von der Theorie und die Ausführung meiner Methode,

zweitens von ihrer Anwendung ~~zur Bestimmung~~ von ~~Fragen~~ ~~zur~~ ~~Vervollständigung~~ unserer

Ermittlung geodetische Daten,

drittens ^{von ihrem} ^{Werte} zur ~~Bestimmung~~ ~~von~~ ~~Fragen~~, welche

sich auf die ~~die~~ Massenverteilung in der

Erdoberfläche beziehen und somit in das Gebiet

der Geologie fallen,

viertens, werde ich noch auf die engen Beziehungen

hinweisen, welche zwischen den von mir

gewonnenen Daten und den magnetischen Störungen bestehen.

Im Laufe dieser Ausführungen wird sich Gelegenheit finden einzelne ^{Beobachtungs} Gebiete beispielsweise Dybbild ausführlicher zu behandeln.

I Theorie und Ausführung der Methode.

1. Theoretisches. oben erwähnten
In meinen ~~in Wiedemanns Annalen veröffentlichten~~
Abhandlungen habe ich nachgewiesen, dass die
Torsionswaage ^{in Folge der räumlichen Veränderungen des} ~~unter dem Einflusse der~~ Schwerkraft
eine Driftung erleidet. Unter der Annahme
dass im Raume linear veränderter Schwerkraft,
welche in den engen Grenzen der Apparate Grenzen
zulässig ist, lässt sich diese Driftung theoretisch
leicht bestimmen. Ihre Abhängigkeit von der
Form und der Massenvertheilung des Schängers
habe ich in ~~meiner~~ ^{meiner} ~~dem~~ ^{dem} ~~oben~~ ^{oben} erwähnten Abhand-
lungen ~~behandelt~~ ^{behandelt}, hier will ich ~~mir~~ ^{mir} auf
zwei Formen ins Auge fassen, welche mir
bei den zu besprechenden Beobachtungen dienlich waren.

Die erste Form ist die eines ^{horizontal schwebenden} ~~einfachen~~ zylindrischen Hohlstabes, ~~dessen~~ von geringem Querschnitt ^{und} an beiden Enden mit ^{zylindrischen} hineingeschobenen Massen belastet. (Fig 1)

Die zweite unterscheidet sich von der ersten nur dadurch, dass die belastende Masse an einem Ende durch Aufhängung tiefer gelegt ist (Fig 2).

Es sei nun U die Potentialfunction der Schwerkraft bezogen auf ein rechtwinkliges Coordinatensystem x, y, z , dessen Anfangspunkt im Schwerpunkt der Schlinge liegt und dessen z Achse in diesem Punkte vertical abwärts gerichtet ist, bezeichnen wir dann mit K das Trägheitsmoment der Schlinge und mit α den Winkel zwischen der ~~Leise~~ ^{Leise} des Stabes und ^{der} x Achse des Coordinatensystems, so ist das Drehungsmoment F für die Schlinge erster Form:

$$F = \left(\frac{\partial^2 U}{\partial y^2} - \frac{\partial^2 U}{\partial x^2} \right) K \frac{\sin 2\alpha}{2} + \frac{\partial^2 U}{\partial x \partial y} K \cos 2\alpha \quad \dots 1)$$

Für das Schänge des zweiten Form erhalten
 wir ~~wenn~~ dagegen, wenn wir ~~wir~~ ^{mit} die Aufge-
 hängte Masse, ~~mit~~ h ihrem vertikalen Abstand
 vom Stabe und ~~mit~~ l ihrem Drehungsarm bedeutet:

~~Lösung~~ =

$$F = \left(\frac{\partial^2 U}{\partial y^2} - \frac{\partial^2 U}{\partial x^2} \right) \frac{K}{2} \sin^2 \alpha + \frac{\partial^2 U}{\partial x \partial y} K \cos \alpha$$

$$- \frac{\partial^2 U}{\partial x \partial z} m h \sin \alpha + \frac{\partial^2 U}{\partial y \partial z} m h \cos \alpha \quad \dots \quad 2)$$

Da nach F

$F = \tau D$
 wo D den Torsionswinkel τ die Torsionskonstante
 des Drahtes ^{bezeichnung} so lassen sich wie weiter aus-
 führunglich gezeigt werden wird durch

~~Dieses Drehungsmoment lässt sich entweder~~
~~Bestimmen~~ In der Gleichgewichtslage ist nun:

$$F = \tau D$$

wo D den Torsionswinkel und τ die Torsionskonstante
 des aufgehängten Drahtes bedeutet und daher für den
 Schänge erste Form:

$$D = \frac{1}{2} \frac{K}{L} \left(\frac{\partial^2 U}{\partial y^2} - \frac{\partial^2 U}{\partial x^2} \right) \sin^2 \alpha + \frac{K}{L} \frac{\partial^2 U}{\partial x \partial y} \cos \alpha \quad \dots \quad 3)$$

Für das Gehänge zweites Form:

$$D = \frac{1}{2} \frac{V_0}{T} \left(\frac{\partial^2 U}{\partial y^2} - \frac{\partial^2 U}{\partial x^2} \right) \sin \alpha + \frac{V_0}{T} \frac{\partial^2 U}{\partial x \partial y} \cos \alpha$$

$$- \frac{m h l}{T} \frac{\partial U}{\partial x \partial z} \sin \alpha + \frac{m h l}{T} \frac{\partial^2 U}{\partial y \partial z} \cos \alpha \quad \dots 4)$$

Indem man das ganze Instrument durch Drehung um ~~die Drehung des Drehwagens geht in~~ in verschiedene Lagen bringt, verändert sich eine verticale Achse ~~hier nicht~~ ihre Veränderung diese Drilling ~~ändern~~ und es kann ~~dieses~~ bei beliebigen ~~Werten~~ ^{Veränderung} des Azimuths α beobachtet werden. So kann man, wie ich weiter unten ausführlicher zeigen werde durch eine entsprechende Anzahl von Beobachtungen in verschiedenen Azimuthen die Werte ^{viel} folgender Größen bestimmen:

$$\frac{\partial^2 U}{\partial x^2}, \quad \frac{\partial^2 U}{\partial y^2}$$

$$\left(\frac{\partial^2 U}{\partial y^2} - \frac{\partial^2 U}{\partial x^2} \right), \quad \frac{\partial^2 U}{\partial x \partial y}$$

Die Bedeutung ^{dieser Größen} für die Ermittlung ~~der~~

der räumlichen Veränderungen der Schwerkraft und ~~der~~ ~~der~~ die Krümmungen der Niveaufläche ist schon nach einem flüchtigen Blick augenfällig.

Und zwar können mit einem Gehänge zweites Form alle vier, mit einem solchen des ersten Form aber nur die beiden letzten ermittelt werden.

Erwähnen wird ich noch, dass die Veränderungen
 des Drehungsmomentes F bei Veränderung des Azimuths
 & auch in der Schwingungsdauer des Schänges
 zu erkennen sind, und es lassen sich daher
 die oben angeführten vier Größen auch durch
 Beobachtungen dieser Schwingungsdauer ⁱⁿ ver-
 schiedenen Azimuthen bestimmen. Hierbezüglich ^{beziehe ich mich}
 mit dem Hinweis ^{auf} ~~weise ich~~ auf meine schon ~~angeführten~~ erwähten
 Abhandlungen, da hier nur von Beobachtungen
 die Rede sein soll, ^{bei} welchen ~~nach der ersten~~ ~~erwähnten~~
~~Methode~~ ~~angeführt~~ ~~worden~~ ~~sind~~ die Ruhelage
 des Schänges bestimmt wurde.

2. Apparate.

Bei der Construction des im Principe ~~ausser~~ äusserst einfachen Apparate, ^{welche} ~~die~~ zur praktischen Verwirklichung ~~der~~ der vorangehenden theoretischen Betrachtungen dienen sollen, ist die aussergewöhnlich geringe Grösse des zu bestimmenden Daten besonders ins Auge zu fassen. Es sollen da Werthe derselben die ^{nur} $1 \cdot 10^{-9}$ C.S.S. oder noch kleiner sind, mit ~~ausser~~ möglichst vollkommenem Ausschuss ~~ander~~ Störender Einflüsse bestimmt werden.

Wie im Blick auf Formel 3, oder 4, zeigt ist die Periode T mit $\frac{1}{\tau}$, also mit dem Quadrate der Schwingungsdauer proportional. Es handelt ^{also} sich hauptsächlich um die Herstellung von Drehwaagen sehr grosser Schwingungsdauer. Bei Anwendung der üblichen Spiegelablesung, wobei noch ein Winkel von circa ein Zehntel Minute erkennbar ist, muss die ^{einfache} Schwingungsdauer die Grösse von

zehn Minuten = 600 Sec. ^{haben} ~~erreichten~~ um die erzielte
Empfindlichkeit von $1 \cdot 10^{-9}$ zu erreichen. ~~Herr M.~~
~~Brillouin~~ Herr M. Brillouin konnte sich durch
Anwendung seiner ^{empfindlicheren} ~~Ultraschall~~ Vorrichtung auch mit etwas
kleineren Schwingungsdauern begnügen.

Durch entsprechende Wahl des Aufhänge drahtes
oder Quarzfadens und ^{der} ~~seiner~~ Dimensionen des Schänge-
balkens kann diesem ~~Bedürfnisse~~ ^{Bedürfnisse} genügt
werden, ja es wäre möglich die Empfindlichkeit z.B.
durch Anwendung meines ~~Quarzfadens~~ ^{Granita-}
tions compensators (s. Wiedemann's Annalen ^{S. 392} ~~1059~~)
bis zu beliebiger Höhe zu steigern.

Ohne hierauf näher einzugehen will ich mich
~~Ich will mich aber~~ hier auf die kurze

Beschreibung der von mir im freien Felde benutzten
Apparate beschränken.

Als Gehäuse dient eine ~~mit~~ dünnwandige Messing-
röhre von 40 cm. Länge und 0,5 cm. Durchmesser, in
diese ist an einem Ende ein Platinzylinder ~~—~~

im Gewichte von 20 Gm hineingeschoben, während
 an dem anderen Ende ^{ein} solches von circa 26 Grammen
 an etwa ~~75~~ 65 C. langen Drahte herunterhängt.
 Aus der Mitte des Balkens ragt nach oben ein
 10 C. langer Stab empor, der den Spiegel trägt
 und zur Befestigung des Torsionsdrahtes dient.

Als Torsionsdraht benutzte ich bei meinen
 zum Transporte eingerichteten Instrumenten
 Platin Drähte von ~~56 C. Länge~~ ^{von} 0,04 mm. ~~Durchmesser~~,
 Durchmesser. Besonders ~~g~~ eignen sich hierzu
 die von C. Heraeus bezogenen, ^{mit 20% Iridium legirt und} welche um
 Deformationen möglichst zu vermeiden auf eine
 Spule von 25 C. Durchmesser gewickelt ~~und~~
 mir zugeschildt wurden. Sogleich nach Empfang
 aus der Fabrik wurden an beide Enden ⁶⁵ C. langer
^{dieser Drahtes} Stücke durchlöcherne Messingplättchen gelötet,
 und ² ~~mit~~ ^{zu} Gewichten ~~des Gehänges~~ ^{von 10 Grammen} belastet,
 diese ^{dienen} ~~welch~~ ^{sicherer} ~~zur~~ ^{zur} Befestigung an das Gehänge
~~etc~~ einerseits an dem Torsions Kopf andererseits ^{sollten} ~~an diesem~~ ^{haben}.

Eine grössere Zahl so hergerichteter Drähte
 belastete ich in feststehendem Kasten ^{aufgehängt} mit Gewichten
 von 80 Grammen, entsprechend dem Gewichte des
 grossen Gehänges, das sie in meinen Instrumenten
 zu tragen haben. Die Drähte wurden auch einer
 langsamen Erwärmung auf circa 100° Celsius
~~und~~ ^{und} darauf folgend ~~der~~ langsamen Abkühlung unter-
 worfen, in welchem Zwecke ich mir in neuester
 Zeit einen ~~Ofen~~ mit ~~Gas~~ Leuchtgas heizbaren
 Ofen herstellen liess, in dem die belasteten Drähte
~~ausgehängt~~ ~~aufgehängt~~ aufbewahrt werden und
 an ~~ihnen~~ ^{ihnen} die Prozedur der Erwärmung und
 Abkühlung bequem ^{und oft} wiederholt werden kann.
 So behandelte Drähte sind schon nach einigen
 Tagen nach Bezug aus der Fabrik brauchbar, sie
~~sind~~ ~~aber~~ zeigen zwar noch eine langsame
 Veränderung der Gleichgewichtslage, welche täglich

Einige Minuten beträgt, diese hat aber ~~schon~~^{schon}
 einen genügend regelmäßigen Verlauf um bei
 Beobachtungen mit in die Rechnung ^{ge}eingetragen werden
 zu können. Nach Monaten und noch mehr nach
 Jahren verringert sich dieser Gang immer mehr
 und mehr, so dass ich Drähte benutze, bei denen
 dieselbe schon fast schon ganz verschwunden ist.

Spuren einer solchen Wanderung der Gleichgewichts-
 lage ~~und~~^{bleiben aber doch} nach jeder Anordnung und Desorci-
 tierung des Instrumente bemerkbar, ~~ohne~~^{ohne doch} die
 Beobachtungen wesentlich zu stören.

Amelierung

Ein weit größeres Nachtheil der Verwendung
 von Metalldrähten besteht darin, dass dieselben
 je nach der permanenten Drückung, mit welcher
 sie die Öse verlassen eine individuell variierende
 Empfänglichkeit für Temperatureinflüsse besitzen.

Ihre Gleichgewichtslage verändert sich ~~mit~~^{also}
~~mit der Temperatur im umgekehrten~~ mit der

Temperatur und ist sogar von dem zeitlichen Verlaufe der Temperaturveränderungen abhängig. Bei vorgewärmten, ~~früher~~ ausgekangenen Drähten kann aber diese Verschiebung der Gleichgewichtslage, welche einige Sekunden Minuten für 1° Celsius nicht übersteigen, durch einen für jeden Draht eigens bestimmten Temperaturcoefficienten ~~nicht genügend~~ befriedigend dargestellt, und ~~nicht in die Correction~~ als Correction in Rechnung gezogen werden.

Beobachtungsergebnisse, die weiter unten folgen, sollen ~~dies~~ ^{dies} ~~genügend~~ ^{genügend} beweisen. Nur im Falle einer plötzlichen Veränderung im Gange der Temperatur wird dieser Fehler störend bemerkbar.

Es drängt sich hier die Frage auf, warum im ~~Denne~~ ^{Denne} ~~Luftzug~~ nicht ~~haben~~ die ~~mit~~ ~~den~~ ^{von} ^{Nachwirkungen} ~~Drängen~~ der elastischen Nachwirkung ^{viel weniger beaufachtet} ~~vielmehr beaufachtet~~.

Quarzfüden ^{erregte} ~~bevorzogen~~. Meine Antwort ~~hierauf~~ ist, dass ich diese Versuche zu einer Zeit begann

Da die Benützharkheit der Quarzfäden noch nicht
 bekannt war und ich meine Apparate den mir
 damals zu Gebote stehenden Platindrähten entsprechend
 dimensionierte. ~~Platin~~ Quarzfäden die ein Gehäuse
 von 80 Grammen tragend noch die erwünschte grosse
 Schwingungsdauer ergeben, sind aber so brüchig, dass
 sie ~~im Labor~~ bei fixer Aufhängung im Labor-
 ratorium wohl noch ~~in Gebrauch~~ ^{brauchbar}, auf Reisen aber
 der Gefahr des Reißens zu sehr ~~zu~~
~~vielen~~ Gefahren ausgesetzt sind. Nur Apparate
 mit leichten Gehängen also filigrane Ausführung
 könnten diesem Uebel abhelfen. Die Herstellung
 solcher Apparate habe ich despekt selbst in Angriff
 genommen. ~~Ich bin überzeugt~~ ^{ich bin überzeugt} dass es
~~genügt~~ ^{genügt} nur für die ~~Praxis~~ ^{Ausführbarkeit} meiner Beobachtungs-
 methoden, dass dieselben auch instrumentell ^{noch} mancher
 Vervollkommenung fähig sind.

~~Fortschritt der Wissenschaft ist ein langsames, aber stetiges Gehen~~

Fortschritt der Wissenschaft ist ein langsames, aber stetiges Gehen

~~Man kann~~ ^{Man kann} ~~einige~~ ^{einige} Warte werden nun
 gemigen zur Beschreibung der diese Drehwagen
 einschliessenden ^{Schässel} ~~Warten~~. Dieselben sollen gegen

äussere Einflüsse, insbesondere gegen Strahlungen
 Schutz gewähren, und sind deswegen aus Doppel-
 wandigen ^{oder gar aus} ~~die neueren zeigen aus~~ dreiwandigen
^{massive} Kästen und Röhren zusammengesetzt ~~die~~ von
~~ca~~ etwa 3 m.m. Wandstärke. Das Gehäuse selbst
 ist um eine vertical stellbare Achse ^{Drehbar und} auf festem
 Gestelle aufgesetzt, wobei zur Ablesung der
 Drehung des Gehäuses ein in Drittel Grade getheiltes
 horizontales ~~Teil~~ Kreis, zur Ablesung der Stellung
^{mit Spiegel versehenen}
 der Waage Balkens ~~das~~ ein ~~an 60 Centimeter langer~~
~~Arm~~ an dem Gehäuse befestigtes Fernrohr dient.
 Letzteres ist ein gebrochenes Fernrohr um die
 Ablesungen auch in kleineren Räumen zu er-
 möglichen und auch die Länge des ^{des} Fernrohrs
 bezw. des Armes wurde aus dem selben Grunde
 auf ungefähr 60 Centimeter herabgesetzt, wobei
 bei der Spiegelablesung Skalen ~~mit~~ mit halbmittli-
 metertheilung ^{erforderlich} ~~zu benutzen~~ sind.

Bei Beobachtungen im ~~frei~~ Felde wird das Instrument

in ein transportables Häuschen ~~von~~ aufgestellt,
von 2x2 Meter Grundfläche aufgestellt, dessen Wände
aus warmer dichter Leinwand bestehen.

So erhält die Beobachtung gehörigen Schutz um
mit denselben bei Ausschuss der Sonnenstrahlung,

also ^{während der Nachtstunden} brauchbare Resultate zu erzielen. ~~Für~~ Bisher ist es mit nicht
~~Arbeit bei Tage im Freien geeignete Apparate her-~~ gelungenen Apparate herzu-
~~zustellen ist mir bisher nicht gelungen, doch hoffe~~ stellen welche bei Arbeit
ich auch diese ^{erreichen zu können.} ~~herstellen zu können.~~ ~~stellen~~ im Freien
auch bei Tage benützt
werden könnten.

Was die weiteren Eindeutigkeiten der ~~Einrichtung~~
Constructio'n betrifft, so war für dieselben Maassstab,

das ^{die} ~~die~~ Instrumente ~~in~~ ~~Zustand~~ Reiseinstrumente
werden sollten ^{und} ~~den~~ entsprechend ^{mußte für} ~~eine~~ sichere
Befestigung ^{ihres} ~~an~~ einzelnen Theile ^{die} ~~und~~ ~~begrenzte~~
Verpackung des Ganzen ^{vorgesehen werden.} ~~zu ermöglichen~~.

Diese Erfordernisse ins Auge fassend entstanden
nun folgende zwei ^{und man kann gemessen} ~~von~~ ~~mit~~ ~~bei~~ ~~den~~ ~~bisherigen~~
Beobachtungen verwendeten Instrumente:

a) Ein einfaches Schwerevariometer deren Ein-

richtung aus dem Querschnitt (Fig 3) und aus seinem
 polygraphisch hergestellten Bilde ^{Fig (4)} ersichtlich ist,
 und b) Ein doppeltes Schwerevariometer (Fig 5)
~~von dem~~ ~~Vorteile~~ aus der Verbindung zweier
 einfacher hergestellt, ~~—~~ dessen Vorteile ~~mit~~
~~unter~~ ~~den~~ weiter unten ~~er~~ sich ergeben werden. J

Ein einzelnes dieses Instrumente genügt zur
 vollständigen Lösung der Aufgabe, da ~~die~~ ^{es} alle
 vier mit der Drehwaage bestimmbar Größen
 ergibt. Instrumente ~~mit dem~~ ~~Apparat~~ mit Ze-
 hängen erster Art (siehe Oben), welche zwar nur
~~zur~~ die Bestimmung zweier dieser Größen ^{ermöglichen},
 diese aber wegen der leichten und vollkommene-
 renen Schutz gegen äussere Einflüsse mit größe-
 rer Genauigkeit ergeben habe ^{ich} bisher nur im
 Laboratorium benützt. Von solchen soll im Laufe
 dieses ~~der~~ Schrift nicht mehr die Rede sein.

J Beide Instrumente von Herrn Mechaniker F. Lüs
 in Budapest mit grosser Sorgfalt und Präzision angefertigt.

3. Bestimmung des Constanten des Instrumente.

Zur ~~Bestimmung~~ ^{Ermittlung} der gesuchten Größen dienen Gleichungen von der Form 4), diese enthalten die Größen

$$\text{und} \quad \frac{K}{T} \quad \frac{mkl}{T}$$

als Constanten des Instrumente. Da m, k, l mit Waage und Messstab leicht abmessbar sind so handelt es sich nur um die Bestimmung von $\frac{K}{T}$ und T .

~~Da K das Trägheitsmoment~~ In einem Raume von ^{K} Constante Schwerkraft liess sich die Größe $\frac{K}{T}$ in üblicher Weise nach den Formeln für gedämpfte Schwingungen bestimmen. Das hängende Gewicht m muss allerdings näher zum Balken gebracht werden, um störende Einflüsse ~~seiner~~ ^{seiner} Pendelbewegung auf langem Faden zu vermeiden.

In einem Raume aber mit veränderlicher Schwerkraft muss auch der Einfluss dieser Veränderungen mit in Rechnung gezogen werden.

~~Wird aber~~ ~~klein~~ ~~als~~ ~~mit~~ ~~die~~
 Formel 1) ~~benutzt~~ ~~werden~~ ~~darf~~, Das gesamte

Drehungsmoment, welches auf dem Balken wirkt kann
 im Falle des ~~klein~~ ~~als~~ ~~klein~~ ~~gesetzt~~ ~~wird~~, ausgedrückt werden durch

~~Das ist~~

$$F = -T(d+\varepsilon) + \left(\frac{\partial^2 U}{\partial y^2} - \frac{\partial^2 U}{\partial x^2}\right) \frac{K}{2} \sin 2(d+\varepsilon) + \frac{\partial^2 U}{\partial x \partial y} K \cos 2(d+\varepsilon)$$

wo ε ~~den~~ den Ausschlagswinkel ~~bedeutet~~,
 und daher, die Bedingungsgleichung des Gleichgewichts
 in Betracht reichend ~~wird~~ für kleine Ausschlagswinkel auch:

~~$$F = -T\varepsilon + K\left(\frac{\partial^2 U}{\partial y^2} - \frac{\partial^2 U}{\partial x^2}\right) \cos 2d \varepsilon + 2K \frac{\partial^2 U}{\partial x \partial y} \sin 2d \varepsilon$$~~

$$F = \left(-T + K\left(\frac{\partial^2 U}{\partial y^2} - \frac{\partial^2 U}{\partial x^2}\right) \cos 2d - 2K \frac{\partial^2 U}{\partial x \partial y} \sin 2d\right) \varepsilon$$

Bemerkung wie dann mit

T die Schwingungsdauer ~~um eine die Gleichgewichts Lage im~~
~~mit~~ T' dagegen die ~~Schwingungsdauer~~ ~~um eine~~ ~~hierauf~~ ~~normale~~
~~Lage~~, dann $\frac{d^2 \varepsilon}{dt^2} = -\frac{F}{T}$ ist:

$$+T = K\left(\frac{\partial^2 U}{\partial y^2} - \frac{\partial^2 U}{\partial x^2}\right) \cos 2d + 2K \frac{\partial^2 U}{\partial x \partial y} \sin 2d = \frac{\pi^2 K}{T'^2}$$

$$\text{und} \quad +T + K\left(\frac{\partial^2 U}{\partial y^2} - \frac{\partial^2 U}{\partial x^2}\right) \cos 2d + 2K \frac{\partial^2 U}{\partial x \partial y} \sin 2d = \frac{\pi^2 K}{T^2}$$

Somit:

$$\frac{K}{T} = \frac{1}{2\pi^2} (T'^2 + T^2)$$

Wollen wir auch noch den Einfluss der Länge h in Betracht ziehen, dann können wir $\frac{1}{T}$ auf Grundlage der Formel 2) aus Beobachtungen in 4 aufeinander ~~verschiedenen~~^{verschiedenen} Stellungen mit noch *normalen* grösseren Stange bestimmen.

Zur Ermittlung von T dient eine Wiederholung des Cavendish'schen Versuchs, indem die ~~angabe~~ durch ^{eine} etwa 10 Kilogramm schwere Platinglocke auf das hängende Gewicht bewirkte Ablenkung gemessen wird. Bei der grossen Empfindlichkeit des Schwinge lässt sich dies leicht und mit Sicherheit ausführen, da ja Ablenkungen bis zu einem Grad und darüber erzielt werden können.

~~Bei eventuellen Rissen der Faden genügt dann ~~da ja~~ wenn $\frac{1}{T}$ unverändert bleibt ~~noch~~ ^{einige} dieser ~~Operationen~~ Operationen.~~

~~Zur besseren Erklärung möge~~

~~Zur besseren Erklärung einer solchen Constanten-~~

~~bestimmung möge ein Beispiel dienen.~~

Als erklärendes Beispiel möge die Bestimmung

~~Zu bestimmen was~~ die Constanten des einfachen

^{NII dienen} Variometers, welches ~~II trägt~~ und bei den

Messungen bis zum Jahre 1903 fast ausschließlich

benutzt wurde.

In zwei aufeinander harmonischen Stellungen ~~angewandt~~

erhielten wir folgende Werke für die ^{mit Chromonulid direkt bestimmbaren} Schwingungsdauern

$\alpha = 0$	$\alpha = \frac{\pi}{2}$
$T = 11m 12,6s$	$T' = 11m 8,9s$
" 11,9	" 8,1s
" 11,4	" 9,2s
" 12,4	" 9,2s
" 12,1	9,5s
" 11,4	8,5s

Im Mittel: $T = 11m 11,97s$ | $T' = 11m 8,90s$

oder $T = 671,97s$ und $T' = 668,90s$.

Das reciproke Dämpfungverhältnis $\text{was} = 0,396$

und die von dem Einflusse der Dämpfung befreiten

Schwingungsdauern

$$T_0 = 644,51 \quad \text{und} \quad T'_0 = 641,57$$

Hieraus berechnet sich:

$$\frac{K}{T} = \frac{1}{2\pi^2} (T_1^2 + T_0^2) = 41896$$

Es wurde dann eine genau gearbeitete Blei-
Kugel zur Ablenkung des hängenden Gewichts
abwechselnd ~~nach~~ an der einen und anderen
Seite hingestellt. Hierbei ~~veränderte~~ ^{verlegte sich} die Gleich-
gewichtslage in drei aufeinander folgenden
Versuchen ~~stetig~~ ^{gleich bleibend} um 34,5 Skalenteile.

Zur Berechnung von T diente dann folgende

Formel:

$$T \cdot \frac{n'-n}{2D} = 2G \cdot \frac{Mm}{g^2} \frac{1}{\sqrt{1+\frac{1}{4g^2}}}$$

Bedeutung und Werte der ~~in dieser Formel~~ ^{hier} auftre-
tenden Größen waren die folgenden:

$n'-n$ ~~Die~~ die Verschiebung der Gleichgewichtslage bei
einem Umlagen der ~~Blei~~ Bleikugel in Skalenteilen = 34,5

D Entfernung von Skala und Spiegel in Skalenteilen = 1232

G die Gravitationskonstante $= 66,3 \cdot 10^{-9}$

M die Masse der Bleikugel $= 13,137 \text{ Gr.}$

m die Masse des vertikal hängenden Platincylinders $= 25,43 \text{ gr.}$

d die Länge des Platincylinders $= 6,0 \text{ C.}$

g die ^{mittlere} Entfernung des Kugelmittelpunktes von
der Achse des angezogenen Cylinders $= 11,07 \text{ C.}$

~~Entfernung des beiden Lagen des Kugelmittelpunktes gemessen $= 11,07 \text{ C.}$~~

L ~~die~~ die ~~Armlänge~~ des Drehungsarms
des hängenden Platinstückes $= 20,0 \text{ C.}$

Hieraus berechnet wird

$$\tau = 0,5035$$

~~und da $\frac{mhl}{\tau}$~~ und da an dem Instrumente bei dieser Bestimmung:

$h = 56,6 \text{ C}$ war:

$$\frac{mhl}{\tau} = 57,173$$

~~Die Einführung~~ Diese Werte der Constanten
sind in Gleichung 4) ^{gesetzt} gehen dann die beim
Benutzen dieses Instrumentes dienende Grundformel.

Nach vorteilhafter ist es die abgelesene Skalen-
zahl n in diese Gleichung einzuführen. Wenn nämlich
no ~~die~~ vorläufig unbekannte Skalen ~~wert~~ für
~~den ungedrückten~~ die Gleichgewichtslage ~~bedeutet~~ bei
ungedrücktem Trichter bedeutet, so ist für Ablesungen mit
gebrochenem Fernrohr

$$\frac{n_0 - n}{2\delta} = D$$

und da $D = 1232$, so erhalten wir: ~~für die Ablesungen~~
~~mit gebrochenem Fernrohr:~~

$$\begin{aligned} n_0 - n &= +0,05162 \left(\frac{\delta^2}{2\gamma^2} - \frac{\gamma^2}{2\mu^2} \right) 10^9 \sin 2\alpha + 0,10323 \frac{\delta^2}{2\gamma^2} 10^9 \cos 2\alpha \\ &\div 0,14087 \frac{\delta^2}{2\lambda^2} 10^9 \sin \alpha + 0,14087 \frac{\delta^2}{2\gamma^2} 10^9 \cos \alpha \quad \dots 5) \end{aligned}$$

~~Diese Gleichung~~

Die hier angeführten Zahlenwerte erkeiden für
dasselbe Instrument (~~an derselben~~) eine entsprechende
Veränderung, wenn h anders gewählt wird,
aber der Torsionsfaden mit einem neuen ver-
tauscht wird. Da aber in solchen Fällen K
~~unverändert~~ unverändert bleibt, so ist es ausreichend
nur eine ^{des} oben beschriebenen Operationen auszuführen
und so T entweder ^{mit} aus Schwingungsbeobachtungen

oder ^{nur} aus Ablesungen zu bestimmen.

Auch kann man an Orten, wo die Schwerekräfte-
veränderungen mit einem Instrumente bereits bestimmt
worden sind, die Constanten eines anderen Instruments
durch Vergleichende Beobachtungen ermitteln.

4) Beobachtung und ^{der} Berechnung.

Als Grundlage zur Messung des v ist zu
bestimmenden Größen dient ~~die~~ ~~die~~
~~jeder Apparat nach dem Werte~~ ~~die Gleichung~~
~~5), welche die Gleichung 4), welche wir für~~
jeden benutzten Apparat ~~in~~ ~~die~~ ~~Form~~ ~~3~~
bringen können, ~~er~~ ~~den~~ ~~in~~ ~~Allgemeinen~~ ~~:~~
wie wir ~~das~~ ~~für~~ ~~den~~ ~~Apparat~~ ~~II~~ ~~in~~ ~~der~~ ~~Formel~~ ~~5~~ ~~haben~~

$$n - n_0 = A \left(\frac{\partial^2 \eta}{\partial t^2} - \frac{\partial^2 \eta}{\partial x^2} \right) 10^9 \sin 2\alpha + B \frac{\partial^2 \eta}{\partial x^2} 10^9 \cos 2\alpha \\ + a \frac{\partial^2 \eta}{\partial x \partial y} 10^9 \sin \alpha + b \frac{\partial^2 \eta}{\partial y \partial x} 10^9 \cos \alpha \quad \dots 6)$$

die speziellen Werte
für das Instrument No II ist ~~das~~ ~~eben~~ ~~wahrscheinlich~~ ~~:~~

$$A = -0,05162$$

$$B = -0,10323$$

$$a = +0,14087$$

$$b = -0,14087$$

Es sollen ~~hier~~ hier nur zwei solche besprochen
werden, die ^{solche} ~~am~~ ^{solche} ~~am~~ wie am meisten benützlich.

Bei ~~den~~ ^{Arbeiten} Beobachtungen mit ~~einem~~ ^{dem} einfachen Instru-
mente ^{wie No II} wurden ⁱⁿ den Azimuten $0^\circ, 72^\circ, 144^\circ, 216^\circ$
und 288° beobachtet, mit ^{entsprechenden} Benennung der ^{gleiche} ge-
wichts lagen n_1, n_2, n_3, n_4 und n_5 erhalten wir dann
~~für~~ für die gesuchten Größen, die Werte:

$$10^9 \frac{\partial^2 U}{\partial x^2} = -2,7011(n_5 - n_2) - 1,6694(n_4 - n_3)$$

$$10^9 \frac{\partial^2 U}{\partial y^2} = +2,2976(n_4 + n_3 - 2n_1) - 0,8776(n_5 + n_2 - 2n_1)$$

$$10^9 \left(\frac{\partial^2 U}{\partial x^2} - \frac{\partial^2 U}{\partial y^2} \right) = +4,5543(n_5 - n_2) - 7,3691(n_4 - n_3)$$

$$10^9 \frac{\partial^2 U}{\partial x \partial y} = -1,1972(n_4 + n_3 - 2n_1) + 3,1342(n_5 + n_2 - 2n_1)$$

Die Azimute wurden ^{bei der Beobachtung} vom magnetischen Meri-
dian ab ^{von} Norden nach Osten gerechnet und es
bedeutet α den Winkel, welchen die von der Dreh-
achse nach dem Aufhängungspunkte des Platin-
zylinders gezogene Richtung mit ^{der} ~~dem~~ magnetischen
Nordrichtung bildet.

Zur Einstellung auf $\alpha = 0$ ~~und dem weiteren Lini-~~
~~nenn~~ dient, eine an das Drehbare Schänkel
 sich anschmiegende Baurolle, ~~die~~ ^{Zur} Einstellung
 auf andere Liniennetze ~~dient~~ ^{Zur} schon erwähnte
 horizontale Pfeilkreis, die Lage des Schänkel angeben.
 Erwähnen will ich, dass die Drehungen des
 Schänkel und die Veränderungen des Liniennetzes
 α streng genommen ^{nicht gleich mit einander} ~~nicht~~ ^{die} ~~gleichsam~~ sind, da ja
 des Waagebalken ^{in Folge des} ~~nach~~ ^{der} ~~Schwerkraftsänderungen~~
 ihre Lage zum ~~Kasten~~ ^{Schänkel} verändert. Des durch die
 Stellung des Kastens ^{deutete} ~~angegebene~~ Liniennetzwinkel
 bedarf daher nach einer Korrektur, ~~welche~~ ^{deren} ~~Größe~~
 in Skalenteilen ausgedrückt ~~ist~~

Die Werte ~~von~~ $(n_0 - n)$ bedürfen daher, wenn ^{wie} ~~man~~ ^{drücken}
~~mit~~ ^{die} ~~den~~ ^{die} Gleichung 6) zusammen mit jenen Werten
 von α einführen wollen, welche allein durch die
 Kastenslage gegeben sind nach einer Korrektur.

Diese ist laut Gleichung 6):

Für den Grad der Instrumentes beträgt diese
Korrektur aus ~~der~~ $\bar{7}$ langen Beobachtungsreihen
bestimmt $+0,4$ Skalenteile für 1°C .

Aus der langen Reihe dieser unter günstigen
Verhältnissen angeführten Beobachtungen, greife
ich jene von 10 Tagen und zwar vom 2^{ten} bis 11^{ten}
December heraus, während welcher Zeit die
Temperatur extreme ~~schwankte~~ $15,9^\circ\text{C}$. und $14,4^\circ\text{C}$.
war. Nachst folgende Tabelle enthält die Werte
der auf die gleiche Temperatur von 15° reduzierten
Skalenteile in den fünf Stellungen I bis V
für ~~die~~ ~~an~~ ~~den~~ zehn aufeinander folgenden Tagen:

33,6)

~~Hier gewinnen wir Einricht auf die Genauigkeit
der Messungen, welche ~~die~~~~

Die Abweichungen der einzelnen Tageswerte vom dem
Mittel ^{wert} betragen also ~~weniger~~ ~~als~~ ~~ein~~ ~~Einheit~~ ~~von~~ ~~der~~ ~~Ordnung~~ 10^{-7}
an ~~der~~ ~~Ordnung~~ ~~we~~ ~~ise~~ ~~mehr~~ ~~als~~ ~~ein~~ ~~Einheit~~ ~~von~~ ~~der~~ ~~Ordnung~~ 10^{-7}
wodurch ~~was~~

ein Mann ~~in~~ der ~~er~~ erreicht^{ten} Genauigkeit
 erhalten. Beobachtungen im Freien sind ^{unter günstigen Verhältnissen} ~~wird~~ ~~wohl~~
^{auch nicht} mit größeren Fehlern behaftet, ~~doch ist es auch~~ ~~unmöglich~~ ~~zu~~ ~~erreichen~~

~~bei solchen zu erreichen~~ dass die Fehler wie dies an
 einem anderen Beispiele gezeigt werden wird.

~~nicht übersteigen.~~
 im Freien ausgeführten Beobachtungen kann die
 Bei solchen ist der ~~Einfluss~~ der Störung
^{bisher mit Rücksicht} ausgeschlossen werden dass die
 Sonnenwirkung ~~von~~ ~~den~~ ~~Beobachtungen~~ dass die
 Beobachtungen zur Nachtzeit ausgeführt werden.

~~Die Ablesungen & die Ausfertigung einer vollen~~
~~Beobachtungsreihe mit fünf Einstellungen~~ ^{ist} also
 an einem Tage während einer Nacht reicht aber

Kann aus um die volle Beobachtungsreihe
 mit fünf Einstellungen auszuführen, ~~da~~ ~~um~~
 so wenigstens da zur Sicherung der Resultate
 auch die Wiederholung wenigstens einiger
 Einstellungen erwünscht ist. So lange ^{uns} ~~ist~~
 nur einfache Apparate ~~wie~~ ~~bei~~ ~~den~~ ~~in~~ No. II

Zu Sebote standen mussten wir daher an
 jeder Nation ^{Wenigstens} zwei Nächte verweilen in ^{jeder nur} ~~ein~~
~~von einem~~ Theil der Einstellungen abzuwand.

~~Die~~ Diesem Übelstande ^{wird durch das Doppelte} ~~abgeholfen~~ ~~ist~~ ~~in~~
 Schwereinstrumente abgeholfen (S. 01), welches seit dem Jahre 1903
 kürzer Zeit mehr leicht zu können habe ich
 im Besondere ~~ist~~ und es ermöglicht in kürzerer Zeit
~~die~~ ~~Instrumente~~ ~~zu~~ ~~ein~~ ~~einfachen~~ ~~Instrumente~~
 mehr zu bürten.

~~auf demselben Gestelle mit gewöhnlicher Doppelbe-~~
~~constraint~~ ~~Seit~~ ~~1903~~ ~~benötigen~~ ~~wir~~ ~~den~~

~~Doppelte~~ ~~Schwereinstrumente~~ (S. 01). Die zwei
 Waageballen sind in diesem doppelten Instrument
~~in der Weise entgegengesetzt gerichtet, dass~~ ~~das~~ ~~hängende~~
~~Gewicht~~ ~~des~~ ~~einen~~ ~~parallel~~ ~~aufgehängt~~, aber be-
 züglich des hängenden Gewichtes entgegengesetzt ge-
 richtet. Gleichseitig mit der Beobachtung im

Azimuth α des einen Ballens ist daher auch
 eine Beobachtung am anderen Ballen im Azimuth
 $\alpha + \pi$ ermöglicht.

$$\text{I Stellung} \begin{cases} n_0 - n_1 = +2a \frac{\partial^2 u}{\partial x \partial y} + b \frac{\partial^2 u}{\partial y^2} \\ n'_0 - n'_1 = +2a' \frac{\partial^2 u}{\partial x \partial y} - b' \frac{\partial^2 u}{\partial y^2} \end{cases}$$

$$\text{II Stellung} \begin{cases} n_0 - n_2 = -\frac{\sqrt{3}}{2} a \left(\frac{\partial^2 u}{\partial y^2} - \frac{\partial^2 u}{\partial x^2} \right) - a \frac{\partial^2 u}{\partial x \partial y} - \frac{\sqrt{3}}{2} b \frac{\partial^2 u}{\partial x \partial z} - \frac{b}{2} \frac{\partial^2 u}{\partial y \partial z} \\ n'_0 - n'_2 = -\frac{\sqrt{3}}{2} a' \left(\frac{\partial^2 u}{\partial y^2} - \frac{\partial^2 u}{\partial x^2} \right) - a' \frac{\partial^2 u}{\partial x \partial y} + \frac{\sqrt{3}}{2} b' \frac{\partial^2 u}{\partial x \partial z} + \frac{b'}{2} \frac{\partial^2 u}{\partial y \partial z} \end{cases}$$

$$\text{III Stellung} \begin{cases} n_0 - n_3 = +\frac{\sqrt{3}}{2} a \left(\frac{\partial^2 u}{\partial y^2} - \frac{\partial^2 u}{\partial x^2} \right) - a \frac{\partial^2 u}{\partial x \partial y} + \frac{\sqrt{3}}{2} b \frac{\partial^2 u}{\partial x \partial z} - \frac{b}{2} \frac{\partial^2 u}{\partial y \partial z} \\ n'_0 - n'_3 = +\frac{\sqrt{3}}{2} a' \left(\frac{\partial^2 u}{\partial y^2} - \frac{\partial^2 u}{\partial x^2} \right) - a' \frac{\partial^2 u}{\partial x \partial y} - \frac{\sqrt{3}}{2} b' \frac{\partial^2 u}{\partial x \partial z} + \frac{b'}{2} \frac{\partial^2 u}{\partial y \partial z} \end{cases}$$

~~Die ~~erhaltenen~~ ermittelte~~ Da wie ermittelt:

$$\text{und} \quad \begin{aligned} (n_0 - n_1) + (n_0 - n_2) + (n_0 - n_3) &= 0 \\ (n'_0 - n'_1) + (n'_0 - n'_2) + (n'_0 - n'_3) &= 0 \end{aligned}$$

~~wie auch:~~
also: ~~aus:~~ ~~$n_0 = \frac{1}{3}(n_1 + n_2 + n_3)$~~

es kann man drei Gruppen von Gleichungen
an den obigen ableiten, welche die zu bestimmenden
vier Größen ~~nur durch~~ durch die ~~von dem Nullpunkte~~ ~~geschrittenen~~
(vom Nullpunkte geschritten) ~~se~~ ~~dre~~ ~~Skalen~~ ~~die~~
~~rungen~~ nur zweier der ~~III~~ Stellungen ausdrücken.

~~Ich will dies~~ ~~hier~~ Um den Gang des weiteren
Betrachtung erklären zu können will ich die
so genannten Gleichungen für ~~die~~ ~~von~~ ~~me~~ ~~in~~
mit dem Apparat und was für ~~die~~ ~~Drähte~~ ~~welche~~
~~ausgeschrieben~~

Bei der Berechnung einer Beobachtungsreihe
wurden diese Gleichungsgruppen folgendermaßen ange-
wendet. Die jeder Stellung entsprechende Nulllage
des Drehes (n_0) ~~wurde~~ ^{wurde} nach der Formel:

$$n_0 = \frac{1}{3}(n_1 + n_2 + n_3)$$

aus der Lage des Balkens in dieser, ~~Stellung~~ ^{Stellung} des voran-
gehenden und darauffolgenden Stellung berechnet.
Hierdurch wird der Einfluss einer ^{Wick} ^{Zeit} ^{pro-}
^{portionalen} ^{fortschreitenden} Ausdriftung des Torsionsdrehes eliminiert.

[Ein grosser Vortheil dieser Berechnungsweise
besteht auch ^{darin} ~~das~~ ~~es~~ ~~entspricht~~ ~~die~~ ~~Beobach-~~
~~ung~~ ~~der~~ ~~Gleichgewichtslage~~ ^{bei} ^{der} ^{Anwendung} nach der ersten Ableitung
nur drei neue Einstellungen und Ablesungen
erforderlich sind um ~~die~~ eine Wertgruppe
zu erhalten + Jede weitere ^{Ein-} ^{Stellung} ^{und} ^{Ableitung}
gibt je eine neue Wertgruppe. [Wenn die
Zeitdauer zwischen ~~der~~ ^{der} ^{Ein-} ^{stellung} ^{und} ^{Ableitung}
auf das zulässige Minimum von $1\frac{1}{4}$ Stunden

herabgesetzt wird

~~herabgesetzt wird so stehen in unserem ~~Text~~~~

Dann steht uns ~~schon so ist~~ die in einer vollen Bearbeitung erforderliche ~~Zeit~~ Neukzeit von $3 \times 1\frac{3}{4} = 5\frac{1}{4}$ Stunden in unserem Boretin auch während des Sommermonats zur Verfügung. ~~Die~~ Boretin eignen sich

aber ~~den~~ die Herbst und Wintermonate.

Nebst der ^{Bearbeitung des} Steingewichtes wurde jedesmal auch die Temperatur abgelesen an vier Thermometern

deren eine (a) unmittelbar des Zettes ~~ist~~ eine andere

(b) oben am Apparat ^{angebracht} die übrigen zwei: I und

II ^{aber in den} ~~in~~ Schützungen ^{aus} ~~aus~~ ^{aus} ~~des~~ ^{betreffenden} des Thiers mit Thermometern dienen zur Reduktion der Schätze I und II ^{vertieft} ~~untergebracht~~ sind. Die Temperatur ^{auf gleiche Temperatur}.

Koeffizienten, durch ~~von~~ sorgfältige Beobachtungen in Labor^{atorium} bestimmt, waren für den

Draht I: $\beta = +0.50$, für den Draht II: $\beta = -0.08$

Eine Übersicht des Ganges ~~des~~ von Bearbeitung und Rechnung bietet folgende Tabelle, herausgenommen aus unserem Beobachtungsjournal vom Jahre 1906.

~~2155, 2156, 2157~~ Tabellen.

In dieser Tabelle ~~bedeutet~~ besichnen sich die Stellungs-
 zahlen I, II, III auf die Apertur $\alpha=0$, $\alpha=120$ ^{und} $\alpha=240$,
 mit n und n' ~~wurden die auf gleiche und dem~~
~~abgelesenen Gleichgewichtswerte auf gleich~~. Die directen
 Ablesungen sind an jedem Tage auf die Anfangs-
 temperatur reducirt und in der Tabelle mit n
 und n' besichnet. In den Columnen S und S' sind
 die Summen dreier aufeinander folgenden Werthe
 von $n=n_0$ resp. $n'-n'_0$ angegeben. Indem diese
 Summen bei voller Genauigkeit gleich Null
 sein sollten, giebt ihr Werth ein gewisses
 Maass der Unverlärssigkeit. ^{Bei der Berechnung der} ~~Dies~~ in den letzten
 vier Columnen enthaltenen Mittelwerthe wurde
 dem in der Mitte der Nacht erpisteten Werthe
 Doppelttes Gewicht beigelegt.

Gestützt nicht nur auf diese Beispiele sondern
 auf ^{eine lange Reihe} ~~vielen~~ von Beobachtungen kann ich behaupten
 dass ~~es~~ es möglich ist ~~mit dem~~ die gesuchten Größen
 mit einer Genauigkeit bis zu $1 \cdot 10^{-9}$ ^{im Verlaufe eines Mess} ~~Ch.S~~ zu bestimmen.

~~Die Notwendigkeit~~
 Die Transformation (eine solche Transformation
~~anderer Weise~~) neuer Warte
 wegen ~~Änderung~~ (des Koordinatensystems ~~um~~
~~stöße~~ ~~war~~ auch in anderen Theorien dieser Unter-
 suchung notwendig, die geschah ~~mit~~ mit 2
 Stufen nach folgender Formeln.

~~Es~~ Sind x, y, z und x', y', z' zwei rechtwinklige
 Koordinatensysteme mit gemeinschaftlicher z Achse
 und bedeutet α den Winkel den die x' Achse mit
 x Achse in der ~~von~~ ^{positiven Richtung} x nach y ~~gemessen~~ bildet,
 so ist:

$$\frac{\partial^2 u}{\partial x \partial z} = \frac{\partial^2 u}{\partial x' \partial z'} \cos \alpha - \frac{\partial^2 u}{\partial y' \partial z'} \sin \alpha$$

$$\frac{\partial^2 u}{\partial y \partial z} = \frac{\partial^2 u}{\partial x' \partial z'} \sin \alpha + \frac{\partial^2 u}{\partial y' \partial z'} \cos \alpha$$

$$\left(\frac{\partial^2 u}{\partial y^2} - \frac{\partial^2 u}{\partial x^2} \right) = \left(\frac{\partial^2 u}{\partial y'^2} - \frac{\partial^2 u}{\partial x'^2} \right) \cos 2\alpha + 2 \frac{\partial^2 u}{\partial x' \partial y'} \sin 2\alpha$$

$$\frac{\partial^2 u}{\partial x \partial y} = - \left(\frac{\partial^2 u}{\partial y'^2} - \frac{\partial^2 u}{\partial x'^2} \right) \frac{\sin 2\alpha}{2} + \frac{\partial^2 u}{\partial x' \partial y'} \cos 2\alpha$$

7/8

und seine

die Richtung der ~~totalen~~ ~~Resultanten~~ ausge-
drückt durch den Azimuth α ~~von der~~ ~~senkrechten~~

$$\tan \alpha = \frac{\frac{\partial^2 y}{\partial x^2}}{\frac{\partial^2 y}{\partial z^2}}$$

2) Der Krümmungsradius r , der Schwerkraft g come

$$r = \frac{g}{\sqrt{\left(\frac{\partial^2 y}{\partial x^2}\right)^2 + \left(\frac{\partial^2 y}{\partial z^2}\right)^2}}$$

und die Richtung dieser Krümmung bestimmt
nach dem Winkel μ den die oskulierende Ebene
mit der xz Ebene (Meridianebene) bildet

$$\cos \mu = \frac{\frac{\partial^2 y}{\partial z^2}}{\sqrt{\left(\frac{\partial^2 y}{\partial x^2}\right)^2 + \left(\frac{\partial^2 y}{\partial z^2}\right)^2}}$$

3) Die Abweichung der Niveaufläche von der
Kugelgestalt gemessen durch die Differenz der
reciproken Hauptkrümmungsradien $\frac{1}{\rho_1}$ und $\frac{1}{\rho_2}$

$$\left(\frac{1}{\rho_1} - \frac{1}{\rho_2}\right) = \frac{1}{g} \left(\frac{\partial^2 y}{\partial y^2} - \frac{\partial^2 y}{\partial x^2}\right) \cos 2\alpha$$

wo α den Winkel bedeutet den die ~~Normale~~
wo, wenn ρ_1 den kleineren, ρ_2 den größeren Hauptkrü-
mmungsradius bezeichnet die Differenz $\left(\frac{1}{\rho_1} - \frac{1}{\rho_2}\right)$ stets positiv ist
und α jenen Winkel bezieht den ~~die~~ die Normalebene

F und nach der Richtung $\frac{dE}{dz}$ welcher die Veränderung der ~~senkrechten~~
mit der Höhe ~~anzeigt~~

$$\frac{dE}{dz} = \frac{g}{\sqrt{\left(\frac{\partial^2 y}{\partial x^2}\right)^2 + \left(\frac{\partial^2 y}{\partial z^2}\right)^2}}$$

mit größtem Krümmungsradius (9) ^{und die} mit XZ Ebene ~~bildet~~ einschließen,
~~der ersten~~ ~~der Hauptkrümmung~~ ~~ist~~ mit der ~~ersten~~ ~~krümmung~~ ~~bildet~~,

$$\gamma_{2d} = - \frac{2 \frac{\partial^2 u}{\partial x \partial y}}{\left(\frac{\partial^2 u}{\partial y^2} - \frac{\partial^2 u}{\partial x^2} \right)}$$

4) Die Richtungen der Hauptkrümmungslinien ^{eines} ~~der~~ ~~Niveau-~~
 Fläche gegeben durch dem Werth dieses Winkels

A. ~~Bei jeder~~ ~~Aufstellung~~ ~~der~~ ~~Instrumente~~ ~~erhalten~~ ~~ein~~ ~~oder~~ ~~mehrere~~ ~~Punkte~~ ~~des~~ ~~Stütz~~ ~~ausge-~~
~~ein~~ ~~Orts~~ ~~wert~~ ~~und~~ ~~die~~ ~~Größen~~ ~~in~~ ~~einem~~ ~~Drück~~.
 und ~~zwar~~ ~~im~~ ~~Schwerpunkt~~ ~~des~~ ~~Gebäudes~~,
~~bei~~ ~~der~~ ~~Berechnung~~ ~~des~~ ~~als~~ ~~Coordina-~~ ~~ten~~ ~~Aufangspunktes~~

~~Bei~~ ~~jeder~~ ~~ausgeführten~~ ~~Messung~~ ~~an~~ ~~dem~~ ~~Ort~~ ~~erhalten~~ ~~wie~~ ~~einen~~ ~~Wert~~
 an einem Orte vollständigen Beobachtungsreihe
~~erhalten~~ ~~wie~~ ~~einen~~ ~~Wert~~ ~~des~~ ~~Ortes~~
 dieser Größen, welches sich streng genommen auf
 den Schwerpunkt des Gebäudes bezieht, welche ^{letztere}
 bei der Aufstellung unserer Fundamente ~~und~~ ~~bei~~ ~~den~~
~~wird~~ ~~nach~~ ~~folgenden~~ ~~Beobachtung~~ ~~Berechnungen~~ ~~als~~
 Coordinaten Anfangspunktes dient.

Solche Lakulwerke, wie ^{Sie} ~~sich~~ sich durch
 aus der Beobachtung ergeben sind nach Raum ge-
 eignet das Innere der Geadeten zu erwecken.
 Sie sind zu sehr von den Wirkungen der zu-
 nächst gelegenen Massen beeinflusst. Im Inneren
 von Gebäuden, Höhlen, Bergwerken oder Tunneln
^{sind} ~~ist~~ dieser Einflüsse sehr bedeutend, ^{dagegen} ~~und~~ ~~geringer~~
^{unter freiem Himmel} ~~aber~~ ~~zu~~ ~~besonders~~ ~~auf~~ ~~den~~ ~~geringsten~~
~~in~~ ~~den~~ ~~Erde~~ ~~in~~ ~~den~~ ~~oberen~~
 Erdgebieten ~~ist~~ ~~um~~ ~~viel~~ ~~geringer~~.

Es sollte nun dieser Einfluss auf ~~Grundge-~~
~~setzte~~ ~~Bestimmungen~~ ~~beruht~~ ~~und~~ ~~so~~
~~die~~ ~~Bestimmungen~~ ~~die~~ ~~Bestimmungen~~ ~~re-~~
~~sultate~~ ~~von~~ ~~allen~~ ~~jenen~~ ~~Störungen~~ ~~Abstr-~~
 werden, welche ~~in~~ ~~den~~ ~~Erde~~ ~~entstehen~~,
~~Störungen~~ ~~aus~~ ~~den~~ ~~Erde~~ ~~entstehen~~ ~~für~~ ~~den~~
 wesentlich ~~ist~~ ~~und~~ ~~unwichtig~~

~~Die~~ Durch Messung und Rechnung

~~von~~ Sie können ermittelt, und so die Beobachtungsergebnisse von allen jenen Störungen befreit werden, welche man gewöhnlich mit dem ~~Begriff~~ als ~~Benennungen~~, "zufällige" ^{oder} "unwesentliche" ~~Benennungen~~ bezeichnet.

Die Unsicherheit solcher Benennungen will ich durch ~~bestimmte~~ ^{bestimmte} Definitionen ~~ersetzen~~ ersetzen.

Ich nehme wie ~~an~~ ^{an} ~~den~~ ^{den} die Schwerkraftverhältnisse die Größe und die Richtung der Beschleunigung und die Form der Erdoberflächen auf der Erde oder einem Theile der Erde bekannt sind und es handelte sich um eine

beschreibende Darstellung dieses unseres Erbkennnis, dann bietet sich uns hierzu ^{Kann ein anderer Vorschlag} ~~mit der~~ ~~einigen~~

als ~~die~~ ~~Erkenntnis~~ jener Kennzeichen anzu-
schließen welche uns bezüglich der topographischen

Configuration der Erdoberfläche zur Verfügung stehen. Es sind daher die ^{Wärthe das die} Schwerkraftverhältnisse

Darstellende Größen für eine ~~Erkenntnis~~ ^{Manqueroziehung} zu bestimmen, welche das topographische Darstellung

der Erdoberfläche entsprechen. Solche Werthe
 werde ich in folgenden ~~mit der Beziehung~~
 die topographische Werthe ^{nehmen} ~~bezeichnen~~, und in
~~meinen Formeln~~ in Klammern gesetzt mit ^{dem oberen} ~~einer~~
 2. Ord. I
~~Trich~~ bezeichnen. ~~Die~~ Diese topographischen Werthe
 erhalten natürlich nur dann eine obere Be-
 deutung wenn das Kartenwerk angezogen wird
 auf welches sie sich beziehen.

Die Wirkung der Niveau Umgebung wird
 nun insofern in Rechnung gezogen als ~~ist~~ ^{ist} ~~das~~ ^{das} Terrain
 Abweichungen von ^{in der} der benutzten Landkarte dargestellten
^{Configuration} aufwird. Diese Wirkung nenne ich ^{die} Terrain-
 Wirkung und bezeichne sie mit dem Index t.
 So ist also:

Topographischer Werth = Voller Werth - Terrainwirkung
 oder: ~~bezeichnet~~

$$\left(\frac{\partial u}{\partial x \partial z}\right)^I = \frac{\partial^2 u}{\partial x \partial z} - \left(\frac{\partial^2 u}{\partial x \partial z}\right)_t \quad \text{n. d. W.}$$

Im Folgenden werden aber noch einige ^{weitere} Benennungen und Beziehungen nöthig sein, die ich gleich hier aufzählen will.

Entsprechend dem ~~Besselschen~~ ^{Besselschen} Ellipsoid, und der ~~Helmert'schen~~ ^{Helmert'schen} Formel für die Rektifizierung lassen sich die Wärthe der Normalen Wirkungen berechnen.

Ich werde dies mit dem Index n versehen.

So können ^{zuerst} nach gebildet werden:

Der volle Störungsweith = Voller Weith - Normale Wirkung

$$\left(\frac{\partial^2 U}{\partial x \partial z}\right)^{\text{II}} = \frac{\partial^2 U}{\partial x \partial z} - \left(\frac{\partial^2 U}{\partial x \partial z}\right)_n \quad \text{u. s. w.}$$

und:

der topographische Störungsweith = topographischer Weith - Normale Wirkung

$$\left(\frac{\partial^2 U}{\partial x \partial z}\right)^{\text{III}} = \left(\frac{\partial^2 U}{\partial x \partial z}\right)^{\text{I}} - \left(\frac{\partial^2 U}{\partial x \partial z}\right)_n = \frac{\partial^2 U}{\partial x \partial z} - \left(\frac{\partial^2 U}{\partial x \partial z}\right)_t - \left(\frac{\partial^2 U}{\partial x \partial z}\right)_n$$

u. s. w. X

Wenn aber um dem Wunsche der Geologen
aus den Schwerkröpfstörungen
zu entsprechen Schlüsse auf die Verteilung von
Massen gezogen werden sollen welche unter der

Höhen der Erdoberfläche liegen, dann ~~sind~~^{sind} auch
 die Wirkungen der auf den Landkarten verzeichneten
~~Massen~~ Erhebungen und Senkungen ~~mit~~^{möglichst} in
 Rechnung zu ziehen. Diese Wirkung, deren Be-
 rechnung sich auf Kartographische Werke stützt
 wird ich ~~mit dem Namen~~^{die} Kartographische Wirkung
~~bezeichnen~~^{nennen}, ~~und~~^{und} die entsprechenden Größen
 mit dem Index K bezeichnen.

Ein Maass ^{für} der Wirkung der unrichtbaren Massen
 giebt dann:

Der Subterrane Störungswert = topografische Störung ^{wird} / Kartographische Wirkung

$$\left(\frac{\partial u}{\partial x \partial z} \right)^{IV} = \left(\frac{\partial u}{\partial x \partial z} \right)^{III} - \left(\frac{\partial u}{\partial x \partial z} \right)_K = \frac{\partial u}{\partial x \partial z} - \left(\frac{\partial u}{\partial x \partial z} \right)_t - \left(\frac{\partial u}{\partial x \partial z} \right)_h - \left(\frac{\partial u}{\partial x \partial z} \right)_K$$

Die

2) Ermittelung der Wirkung der unmittelbaren
Umgebung. Topographische Werthe.

~~Bei der Beobachtung~~

~~Die auf die Instrumente~~

~~Wird als Anfangspunkt der Coordinaten der Schwer-
 punkt der Gehirne angenommen~~

~~Bei der Aufstellung des Instrumentes, soll vor~~

~~Allem das darauf geachtet werden dass~~

~~Schwerkraftwirkungen jeder Art können immer
 berechnet werden~~

~~Schwerkraftwirkungen jeder Art können~~

Schwerkraftwirkungen ~~jeder~~ können für jede
 bekannte ~~bestimmte~~ Mannvertheilung berechnet werden.

~~Die~~ Durch entsprechende Wahl der Beobachtungs-
 orten wird es ermöglicht, dass diese Berechnung
 eine verhältnissmässig einfache wird. ~~Beim~~

Bei der Aufstellung des Apparates ist besonders
 darauf zu achten, dass der Boden unter denselben
~~bei der Aufstellung~~ innerhalb eines Kreises
 von circa zwei Metern Radius möglichst eben

und von geringer Neigung, ~~Es sei~~ ^{Document, ~~metre~~} ~~von dem~~
~~zu erwarten~~ ^{wenn möglich} ~~wurde von Aufstellung des Bodens~~
~~von Aufstellung des Apparates~~ ^{Apparates} ~~hergeleitet.~~
~~Die Aufstellung des Apparates~~ ^{ist} ~~wurde~~ ^{des Bodens} ~~ist~~
^{wenn möglich} ~~dem entsprechend hergeleitet~~ ^{zu richten.} ~~Die Configuration~~

des umgebenden Terrains kann durch
 ein Nivellement in radialen Richtungen
 erkannt werden. Dieses erstreckt sich bei
 unseren Beobachtungen ^{meistens} auf die Entfernung von
 100 Metern. Wenn ~~dem~~ ^{die Dichte} σ
 (Volumen gewicht) der Bodenmassen ^{auch} bestimmt wird,
 so können die ~~für~~ ^{gesuchten} ~~Wichtigkeiten~~
 berechnet werden.

~~In dieser Rechnung benutzte~~ ^{ist} ~~Formeln~~
~~Die Formeln~~ ^{sind} ~~in dieser Rechnung~~
 Es ~~sei~~ ^{die Lage eines} ~~bestimmten~~ ^{Massen elements}
^{in horizontaler Projection} ~~Durch den~~ ~~Von~~ ~~Schwerpunkt~~ ~~Radius vector~~ ρ ~~und~~
 den Winkel α ~~bestimmt~~ ~~wobei~~ ~~diese~~ ~~mit~~ ~~der~~
 X ~~Achse~~ ~~bildet~~. Sei ρ ~~der~~ ~~Erhebung~~ ~~(positiv nach oben)~~

dieses Massenelementes über ~~die~~ ^{jene} horizontale Ebene,
 welche durch den Fixpunkt des Apparates ~~geht~~ ^{gelegt}
~~ist~~, ~~und~~ h die Erhebung des Schwerpunkts
 des Gehänges (Coordinaten Ursprungspunkt) von derselben
 Ebene, dann ~~ist~~ kann man die gestrichelten
 Wirkungen für ~~ein~~ ^{die} Massen element durch folgende
 Gleichungen in aller Strenge darstellen

$$\frac{\partial^2 U}{\partial y^2} - \frac{\partial^2 U}{\partial x^2} = -3G\sigma \rho^2 d\varrho \frac{\cos \alpha d\alpha d\beta}{(\rho^2 + (h-\xi)^2)^{\frac{5}{2}}}$$

8)

$$\frac{\partial^2 U}{\partial x \partial y} = +3G\sigma \rho^2 d\varrho \frac{\frac{1}{2} \sin 2\alpha d\alpha d\beta}{(\rho^2 + (h-\xi)^2)^{\frac{5}{2}}}$$

$$\frac{\partial^2 U}{\partial x \partial z} = +3G\sigma \rho^2 d\varrho \frac{(h-\xi) \cos \alpha d\alpha d\beta}{(\rho^2 + (h-\xi)^2)^{\frac{5}{2}}}$$

$$\frac{\partial^2 U}{\partial y \partial z} = +3G\sigma \rho^2 d\varrho \frac{(h-\xi) \sin \alpha d\alpha d\beta}{(\rho^2 + (h-\xi)^2)^{\frac{5}{2}}}$$

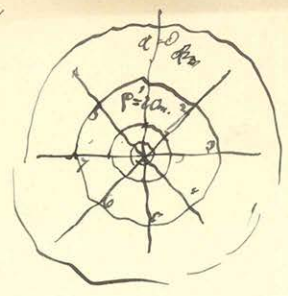
Unter Berücksichtigung dass ~~die Größe~~ ^{die Größe} \rightarrow
~~die Größe~~

$$\frac{\xi^2 + \eta^2}{\rho^2 + h^2}$$

~~die~~ bei schwach geneigten Terrains immer klein ist

Stärke wird
~~und an jedem Kreise die~~

Stärke ξ der Licht Kreuzungspunkte
an jedem Kreise
Durch Nivellement bestimmt.



~~Formeln jeder Parzelle wird:~~
Wir setzen dann:

~~$\xi = c + a\alpha + b\beta + d\gamma$~~

$\xi = c + a\alpha + b\beta + d\gamma$

~~gibt~~ und den Werth der Constanten a, b, c, d
für jede Parzelle ^{eingetragen} aus dem ~~Werte~~ mit Hilfe der

Werthe von ξ in den vier ~~gegenüber~~ Eckpunkten
~~desselben~~ Kreises. Der innere Kreis von 1,5 m. Radius.

Winkel ~~zwischen~~ eine Parzelle für sich und ihr
Längen wird ^{als} der eines geneigten Ebene in Rechnung
gezogen, deren Neigung α im Meridiane, β in der
des darauf senkrechten Richtung, mit ~~Stärke~~
der Wasserwaage bestimmt werden.

Der ~~Gang des weiteren~~ Werth von ξ in die
oben angeführten Gleichungen gesetzt ~~erhalten~~
erzählt nach der Integration die Wirkungen für
eine je eine Parzelle. Aus diesen Einzeln Wirkungen

~~Kann~~ wird dann mit Berücksichtigung der
 Richtungen α die Gesamtwirkung zusammengesetzt,
 zum Praktischen Gebrauche ^{ihre} ~~günstige~~ ^{Formeln berechnet} ~~Formeln~~, welche
~~die in Sekunden gemessene Länge~~ ~~in~~ ~~Fälle~~ ~~von~~ ~~Wegen~~
~~welche~~ ~~das~~ ~~Verhältnis~~ ~~zu~~ ~~lange~~ ~~ist~~ ~~ist~~
 größer als $\frac{1}{8}$ wird bis zu einer Genauigkeit
 von 10^{-5} der 10^{-5} Einheit genau sind. ^{Formel} ~~Dieser~~
 beziehen sich auf die Schmelzpunkttemperatur $t = 1000$. (bis auf einige C. genau
 und auf die Dichte $\rho = 1,8$, sind also für andere ^{gemein})
 Dichten mit dem Quotienten $\frac{\rho}{1,8}$ zu multiplizieren.
 Die Formeln sind:

ivet

L'aves lapot /

Wenn solche durch jemandes Willkür der Beobachtungs-
 Art nicht ganz verschieden werden können, müssen
~~beide für sich berechnet und werden sie mit ihrer~~
~~Kleinheit entsprechenden Genauigkeit die ~~beide~~ für~~
 sich berechnet werden.

3) Kartographische ~~und~~ Wirkung.

Die Berechnung jener Wirkungen welche ^{den} durch
~~die~~ in der Kartographischen ~~die~~ Zeichnung darstellbaren
 Boden erhebungen und Senkungen entsprechen,
 kann ~~durch ~~un~~ ~~wieder~~~~ viel einfacher ange-
 führt werden. Durch Vernachlässigung von h
 neben ξ und η ~~erhalten wir die~~ vereinfachen sich die Gleichungen

9), wie folgt:

$$\frac{\partial^2 u}{\partial \eta^2} - \frac{\partial^2 u}{\partial x^2} = -390 \xi \frac{d\eta \cos \alpha d\alpha}{\rho^2}$$

$$\frac{\partial^2 u}{\partial x \partial \eta} = + \frac{3}{2} 90 \xi \frac{d\eta \sin \alpha d\alpha}{\rho^2}$$

$$\frac{\partial^2 u}{\partial x^2} = - \frac{3}{2} 90 \xi^2 \frac{d\eta \cos \alpha d\alpha}{\rho^3}$$

$$\frac{\partial^2 u}{\partial \eta^2} = + \frac{3}{2} 90 \xi^2 \frac{d\eta \sin \alpha d\alpha}{\rho^3}$$

10)

Die Genauigkeit eines solchen Verfahrens
richtet sich ~~stark~~ nach der Genauigkeit der
~~Karten~~ ~~einmal~~ Karte, welche ihm zu Grunde
liegt. In kleineren ^{Entfernungen} sind ~~die~~ ~~gleichen~~
von ^{geringerem} ~~geringerem~~ Maasstabe und dicken Schichtenlinien
erforderlich während für grössere Entfernungen
auch ~~solche~~ ~~von kleinerem Maasstabe~~

weniger detaillierte ausreichen. So wurden z. B.
~~für die Beobachtungen~~
~~in der Gegend von Waid~~
~~geführten Beobachtungen~~, die ~~weiter~~ weiter unter ^{die} weiter unter ^{ausführlicher}
besprochen werden sollen, bis zur Entfernung von
12 Kilometern ~~von der~~ ~~der~~ ~~Rande~~ ~~des~~ ~~empfe-~~

~~stehenden~~ ~~in~~ ~~der~~ ~~von~~ ~~der~~ ~~Rande~~ ~~des~~ ~~Gebirges~~ ~~die~~
~~Karte~~ ~~in~~ ~~der~~ ~~Karte~~ ~~in~~ ~~Maasstabe~~ ~~1:5000~~ ~~der~~ ~~Reichweite~~
zu Grunde gelegt, ^{von dort ansetzungen} ~~bis~~ ~~zur~~ ~~Entfernung~~
von 20 Kilometern ^{aber} ~~solche~~ ~~im~~ ~~Maasstabe~~

von ^{1:7500} ~~und~~ ~~nach~~ ~~weiter~~ ~~eine~~ ~~Landkarte~~ ~~(1:5000)~~ ~~benutzt~~

~~Die~~ ~~Abstände~~ ~~der~~ ~~Schichtenlinien~~ ~~waren~~ ~~hierbei~~ ~~40m~~, ~~100m~~, ~~und~~ ~~über~~ ~~400m~~.

Die ~~Abstände~~ ~~der~~ ~~Schichtenlinien~~ ~~waren~~ ~~hierbei~~ ~~40m~~, ~~100m~~, ~~und~~ ~~über~~ ~~400m~~.

Zu beachten ist dass die

die Kartographische Wirkung bezüglich der ~~Formen~~ ^{Bögen} ~~Werte~~

$\left(\frac{\partial^2 U}{\partial x^2} - \frac{\partial^2 U}{\partial y^2}\right)$ und $\frac{\partial^2 U}{\partial x \partial y}$ auch ~~noch~~ für grössere Entfernungen vom Nordpol
einigen Hunderttausend
Kilometern

~~Die normale Wirkung~~

~~Die normale Wirkung, welche~~

~~folgt~~

4) Normale Wirkung.

~~Zu~~ Als Werte der normalen Wirkung sollen
jene dienen, welche ~~den Dimensionen der~~ ^{den Dimensionen der} ~~den~~ ^{Pendulen}
Elyptische und der Helmholtz'schen Formel für
die Beschleunigung des Schwerkraps. entsprechen.

Diese Werte sind:

$$\frac{\partial^2 U}{\partial y^2} = 0 \quad \text{und} \quad \frac{\partial^2 U}{\partial x \partial y} = 0$$

~~und~~ ^{bezüglich} ~~für~~ ^{der} zwei anderen ~~den~~ ^{uns hier}
intermediären Größen ~~für~~ ^{für} die Breiten von
40° bis 60° in folgender Tabelle zusammengestellt:

Tabelle

5) Zusammenstellung der Beobachtungsergebnisse. Das Arader Gebiet.

Zweck dieser Schrift ist ~~keine~~ kurze Darstellung zu geben
 des benutzten Materials, ^{vonder Art ihrer} und Verwerthung ~~der~~
~~Beobachtungsergebnisse~~ ^{gehen}. Diesem Zwecke
 glaubte ^{ich} am besten dienen zu können, wenn
 ich statt der flüchtigen Aufzählung aller
 bisher gewonnenen Resultate, mich ^{hauptsächlich}
 auf eine eingehendere Behandlung eines Theiles
 derselben beschränkte, ~~welcher ich nicht~~
 und es an einem Beispiele das Allgemeine
 erklä^{re}. ~~Als~~ ^{ein} ~~solches~~ ^{Beispiel} werden ^{ich} am besten
 die Beobachtungen ^{eigener} welche ~~in dem Jahr~~ ⁱⁿ ~~dem~~ ^{Arader}
~~Arader~~ ~~Arader~~ ^{Arader} Gebiet
 und zwar hauptsächlich auf der sich bei Pudin
 und Vihay erstreckenden Ebene ^{ausgeführt worden}
~~ausgeführt worden~~

Messungswerte ~~sind~~ ^{sind} in der hier folgenden Tabelle I
 zusammengestellt. Alle Werte ~~sind~~ ^{sind} ~~in~~ ^{auf}
 den astronomischen Meridian bezogen. In der
 ersten Columne stehen die ~~folgenden~~
 Zahlen der Stationen, deren Lage ~~aus~~ ^{aus} der
 Karte Fig. 7 zu ersehen ist. Die Bedeutung
 der anderen Columnen ~~ist~~ ^{ist} bedarf ~~mit~~ ^{aus}
 ihrer ~~kurzen~~ Aufschrift keiner weiteren Erklärung.
~~Von R und d wird später die Rede sein.~~
 Die Normalwerte sind aus der vorange-
 henden Tabelle entnommen und zwar für alle
 Stationen ~~des~~ ^{derselben} ~~Ortes~~ ^{und zwar die} für die Breite von
 $46^{\circ}10'$ gültigen Werte: $8,1 \cdot 10^{-9}$ für $\frac{d^2 \Delta}{dx^2}$ und für $10^9 \left(\frac{d^2 \Delta}{dy^2} - \frac{d^2 \Delta}{dx^2} \right)$.
 Von R und d wird später die Rede sein.

Tabelle I

6) Veränderungen der Schwerkraftbeschleunigung in einer Niveaupläche.

Wenn g die Schwerkraftbeschleunigung, so
sind ~~die Komponenten~~ ihre Gradienten:

$$\frac{\partial g}{\partial x} = \frac{\partial^2 U}{\partial x \partial z} \quad \text{und} \quad \frac{\partial g}{\partial y} = \frac{\partial^2 U}{\partial y \partial z}$$

~~es lassen sich diese Größen welche~~
~~diese Größen welche durch~~ ~~Linien~~
~~Spannen~~ deren Resultante der totale Gradient
nach Größe und Richtung durch gerade Linien
graphisch darstellbar ist.

Für das bayerische Gebiet ist diese Darstellung durch
die Karte (Fig 8) verwirklicht und es
bezieht sich dies ~~am~~ auf die Subtopogramme
Nivierungswerte, welche ^{den} ~~von~~ ~~topographischen~~ ~~Werten~~
in der ^{nächsten} Nähe der Gebirge ^{merklich} abweichen. (siehe Tabelle)

[Wären die Werte der ~~g~~ Gradienten in allen
Punkten der Niveaupläche bekannt, so würde

würden sich auch endliche Werthe der Veränderung
 Δg durch Integration berechnen lassen. Anmuthend,
~~aber~~ doch mit befriedigender Annäherung lässt
 sich eine solche Rechnung dann ausführen wenn
 die Reduktionsetationen nahe genug an einander
 liegen um die Gradienten zwischen zwei
 Benachbarten als lineare Functionen der Ortscoordi-
 naten betrachten zu können. Die Zulässigkeit
 einer derartigen Rechnung lässt sich ~~in~~
 durch ihre Ausführung längs eines geschlossenen
 Linie erproben. Es soll ja für eine solche:

$$\int \frac{dg}{ds} ds = 0$$

sein.

~~Eine solche Berechnung~~ So wurde beispielsweise die Rechnung
 für den ~~Dreieck ABC~~ ~~auf einer Karte~~ ~~geschlossene~~
 Dreieck ABC unserer Karte ausgeführt. Die Summe
 der ~~in~~ schrittweise für je zwei benachbarte

Stationen ~~aus~~ berechneten Werte von Ag ²⁰⁰ ~~g~~ ^{gebildet überhöht nach dem Werte von}
~~aus~~ ^{aus dem} ~~ganzen~~ geschlossene Dreieck 1,8.10⁻³

ist also ~~geringer~~ ^{geringer} als ~~in~~ ⁱⁿ ~~der~~ ^{der} ~~ersten~~ ^{ersten} ~~zwei~~ ^{zwei} ~~Millionen~~ ^{Millionen}
teile der ganzen g. Die ~~ganze~~ ^{ganze} ~~34 Kilometer lange~~ ^{34 Kilometer lange} Strecke ~~ist~~

~~34 Kilometer~~ ^{da} ~~lang~~ ^{ist} ~~erhalten~~ ^{erhalten}
~~21 Stationen~~ ^{Im Falle noch dichter} ~~gelegener~~ ^{gelegener} Stationen be-

sonders in ~~dem~~ ^{dem} ~~ersten~~ ^{ersten} ~~Teil~~ ^{Teil} der
Gebiete wo die Störungen ~~geringer~~ ^{geringer} sind würde
~~das~~ ^{das} ~~in~~ ⁱⁿ ~~den~~ ^{den} ~~vorher~~ ^{vorher} ~~erhaltenen~~ ^{erhaltenen} ~~Resultat~~ ^{Resultat} ~~ausfallen~~ ^{ausfallen}
nach ~~geringer~~ ^{geringer} ausfallen. Ähnliche Proben

welche ich ~~in~~ ⁱⁿ ~~den~~ ^{den} ~~ersten~~ ^{ersten} ~~Teil~~ ^{Teil} der Beobachtungen
bei Versey und ~~in~~ ⁱⁿ ~~dem~~ ^{dem} ~~Franken~~ ^{Franken} ~~Gebiet~~ ^{Gebiet} aufstellte
gaben ~~ebenfalls~~ ^{ebenfalls} ~~gute~~ ^{gute} ~~Ergebnisse~~ ^{Ergebnisse} ~~wie~~ ^{wie} ~~die~~ ^{die} ~~ersten~~ ^{ersten} ~~Teil~~ ^{Teil} der Beobachtungen

Ergebnisse. ~~Ergebnisse~~ ^{Ergebnisse} ~~wie~~ ^{wie} ~~die~~ ^{die} ~~ersten~~ ^{ersten} ~~Teil~~ ^{Teil} der Beobachtungen
La ~~wäre~~ ^{wäre} ~~aber~~ ^{aber} ~~die~~ ^{die} ~~Werte~~ ^{Werte} ~~in~~ ⁱⁿ ~~der~~ ^{der} ~~Differenz~~ ^{Differenz}
~~zwischen~~ ^{zwischen} ~~den~~ ^{den} ~~Werten~~ ^{Werten} ~~in~~ ⁱⁿ ~~den~~ ^{den} ~~ersten~~ ^{ersten} ~~Teil~~ ^{Teil} der Beobachtungen
La ~~wäre~~ ^{wäre} ~~aber~~ ^{aber} ~~die~~ ^{die} ~~Differenz~~ ^{Differenz} ~~g~~ ^g ~~ist~~ ^{ist} ~~für~~ ^{für} ~~alle~~ ^{alle}

~~Station benannt - graphisch dargestellt werden.~~
 Hierauf begründet ~~gibt~~ ~~wurden~~ die ~~Differenzen~~
~~g~~ ~~der~~ ~~Berechnung~~ ~~des~~ ~~Schwerpunkts~~ ~~die~~ ~~den~~
~~Abweichungen~~ ~~der~~ ~~Differenzen~~

Ersucht hierauf kann die Berechnung
 der endlichen Differenzen Δg in Angriff ge-

nommen werden ^{in dem als Beispiel behandeltem Falle}
 So ~~wurde~~ ~~die~~ ~~Differenz~~ ~~der~~ ~~Bestimmungen~~

$g - g_A$ zuerst ~~für~~ ~~alle~~ ~~Punkte~~ ~~des~~ ~~Dreiecks~~
~~ABC~~ ~~durch~~ ~~Vertheilung~~ ~~des~~ ~~Überschusses~~ ~~auf~~
~~alle~~ ~~Dreiecksseiten~~ ~~für~~ ~~Punkte~~ ~~des~~

Dreiecks ABC bestimmt, und durch ~~Bestimmung~~
~~Vertheilung~~ ~~des~~ ~~fehlerhaften~~ ~~Überschusses~~ ^{solche corrigierte}
^{sich aus der gleichwärtigen} ~~Vertheilung~~ ~~des~~ ~~fehler-~~
~~haften~~ ~~Überschusses~~ ~~ergeben~~.

Von diesen
 Dreiecken ausgehend konnten ^{dann} ~~dieser~~ ~~diese~~
 Differenzen für ~~alle~~ ~~jämmtliche~~ ~~Nationen~~

des unteren Gebietes beobachtet werden.

~~Der Residuum~~ ist ~~in~~ ~~der~~ ~~Form~~ von
Linien gleicher ^{Residuum} ~~Residuum~~ ^(Zugammen) in die Karte (Fig 8)
eingetragen. Die Punkte ~~gehörig~~ ~~gehörig~~ ~~gehörig~~
~~gehörig~~ ~~ist~~ in die mit ~~0~~ ~~bezeichnet~~

~~Die~~ Des Wertes ~~zustand~~ ~~zwischen~~ ~~benachbarten~~
~~ersten~~ ~~Stufen~~ ~~gleich~~ ~~mit~~ ~~Zugammen~~ Einheiten von der Ordnung
~~10³ C.S.S.~~ ~~Die~~ ~~durch~~ ~~die~~ ~~zur~~
~~Jahr~~ ~~Zugammen~~ Residuen ~~des~~ ~~Zugammen~~
dienen den Zahlen bedeuten die Differenzen g-g_h
in derselben Einheit ausgedrückt.

Γ Eine systematische Ausgleichung der Beobachtungen
~~Resultate~~ wurde bisher nicht ausgeführt, da ich
das ~~Resultat~~ ~~die~~ ~~offenen~~ ~~Resultate~~ ~~wurde~~ ~~nicht~~
für ganz abgeschlossen hielt.
Die ~~Resultate~~ ~~Resultate~~ ~~wie~~ ~~ich~~ ~~hier~~ ~~darin~~
~~angegeben~~ ~~wird~~ ~~ausgeführte~~ ~~Berechnung~~ sind in
einer Tabelle für g-g_h zusammengestellt und auch

Drehwaage und Pendel.

75.

7) Pendel und Drehwaage.

Nun wird kürzlich drängt sich uns die Frage auf, wie verhalten sich die Beobachtungen mit der Drehwaage zu jenen mit dem Pendel? ~~angeführt.~~

~~Es~~ Vor allem ist es auffällig, dass die sich gegenseitig ergänzen, ^{dem} ~~da~~ die Drehwaage nur die Differenzen der Beschleunigung von einem Anfangswerte ^{welcher anzeigt} ~~angeben~~, so ~~bleibt~~ ~~in~~ ~~der~~ ~~Form~~ besteht noch immer die Notwendigkeit des ~~der~~ Pendelbeobachtungen um ^{zur Konstante dieses} ~~den~~ Anfangswertes zu gelangen. Andererseits ist aber die Drehwaage dazu berufen Aufklärungen über den räumlichen Verlauf ^{so kleiner} ~~der~~ Schwerekräfte in der Höhe zu geben welche durch das Pendel kaum ^{abgelesen} ~~bestimmt~~ angedeutet werden.

~~Es~~ ^{ist} ~~es~~ ^{gründlich} ~~haben~~ ^{haben} ~~für~~ ^{für} beide Arten der Beobachtung kann ~~es~~ ^{aus} ~~ihnen~~ ^{ihnen} gegenseitigen Kontrolle erwachsen. Da aber mit Bestimmung der Schwerekräfte ~~es~~ ^{bei}

Apparaten auf die feste Eisdecke des Sees.
 Es ist durch möglich geworden ~~weiter~~
 in den langen Winternächten eine Reihe von Beobach-
 tungen anzustellen, welche frei von ~~den~~ ~~stärk-~~
 Einflüssen der unmittelbaren Umgebung sind,
 also keines Correctiv wegen der Terrinwirkung
 bedürfen. Am ~~Plattensee~~ ^{Balaton} ist dies um so mehr
 zulässig da ~~die~~ ^{die} Bodentiefe ^{des Sees} ~~darüber~~ ~~fast~~
~~schon~~ ~~in~~ ~~geringer~~ ~~Entfernung~~ ~~von~~ ~~dem~~ ~~Ufer~~
 im Ganzen grossen Umfange nahezu die gleiche
 ist. Im allgemeinen fand ~~ich~~ ~~hier~~ ~~aus~~ ~~nahen~~
~~geringer~~ ~~Unregelmässigkeiten~~ ~~des~~ ~~Schwermetalls~~
 und was im westlichen Theile des Sees solche
 die mit ^{den} v. Sternes ~~Beobachtungen~~ ^{Angabungen} ~~an~~ ^{die} ~~Ufer~~ ~~gränzen~~
~~Ufer~~ ~~leidlich~~ ~~übereinstimmen~~.
~~In~~ ~~den~~ ~~im~~ ~~Östlichen~~ ^{Theile} ~~Bezügen~~ ~~weichen~~ ~~die~~
 Beobachtungen stark voneinander ab. Während
 ich auch doch keine bedeutenden Störungen
 fand sollte ~~laut~~ ^{laut} v. Sternes Publication

Zwischen den zwei am südöstlichen Ufer
 gelegenen Stationen Fonyód und Bayvár, ~~die~~
~~nicht mehr als 8 Kilometer voneinander~~ ~~das~~ ~~deren~~
 Entfernung ~~weniger als zehn~~ ~~weniger als zehn~~ ~~Kilometer~~
 beträgt ein Unterschied in der ~~abweichungen~~ ~~abweichungen~~
~~die~~ ~~haben~~ aufsteigen welcher die Größe
 von 57 Einheiten um der Ordinary $10^{\circ}C.S.S$ erreicht.
 Diese Stationen sind in der Karte ~~an fünf Stationen~~
~~und~~ ~~Fig~~ mit den Zahlen 1, 11, 13, 15 und 16
 beschriftet sind. Die Resultate sind:

Stationen	Topographische Westhöhe		Topographische Stützweite	
	$109 \frac{24}{2x02}$	$109 \frac{24}{2y02}$	$107 \frac{24}{2x02}$	$109 \frac{24}{2y02}$
1				
12				
13				
15				
16				

Karte Fig 9.

F Um diese auffallend gross erweichend in Schwereformung nach zu spüren
 habe ich Karte am Ufer an fünf Stationen (Bayvár, Fonyód) ~~zwischen~~ ~~zwischen~~
 längs einer Linie ~~die~~ ~~die~~

Die ~~meinen~~ ^{meinen Beobachtungen entsprechenden} ~~totalen~~ ^{totalen} Gradienten

und auch ihrer Componenten in der Richtung

Forgjäd - Baylis sind auf der Karte Fig. 9 dargestellt.

und zeigen eine bedeutende Abweichung von dem berechneten

Werte ~~des~~ ^{aus} Gradienten, welches sich ~~aus~~ ^{aus} v. Sterneck's

Beobachtungen als Mittelwerth für die Strecke Forgjäd -

Baylis ~~ergibt~~ ^{ergibt}, und in der Figur durch die ~~den~~

des Länge des Pfeiles ~~F-B~~ ^{F-B} entspricht. Dieser wäre

gleich 57 Einheiten von der Ordnung 10^{-9} C. S. ~~und~~

ist ~~dem~~ ^{entsprechend} in entsprechend dem Pfeile

F-B unserer Zeichnung.

Dieser Unterschied tritt auch dann hervor, wenn

die Differenz der Schwereabweichung zwischen Forgjäd

und Baylis auf Grundlage meiner Beobachtungen

berechnet wird, da sich ihr Werth dann nahezu

gleich ~~dem~~ ^{$4 \cdot 10^{-3}$} ergibt entgegen dem v. Sterneck'schen

grossen Werthe $\approx 51 \cdot 10^{-3}$.

Ohne ~~näher einzugehen~~ auf die ~~hier~~ ^{möglichen} Ursachen dieses auffallenden Widerspruchs ^{näher} zwischen
 den beiderseitigen Beobachtungen, ^{näher einzugehen} will ich nochmals
~~zu betonen~~ betonen, dass Pendel und Drehwaage bei der
 Anwendung der Schwereverhältnisse Hand in
 Hand gehen? sich gegenseitig unterstützen sollten.

8) Die Grössen $\left(\frac{\partial^2 u}{\partial y^2} - \frac{\partial^2 u}{\partial x^2}\right)$ und $\frac{\partial^2 u}{\partial x \partial y}$, und

ihre grafische Darstellung.

Die Bedeutung der Grössen $\left(\frac{\partial^2 u}{\partial y^2} - \frac{\partial^2 u}{\partial x^2}\right)$ und $\frac{\partial^2 u}{\partial x \partial y}$ bezüglich der Krümmungsverhältnisse der Niveaufläche ist schon ~~in §~~ ~~in~~ vorher angedeutet worden. Setzen wir nun:

$$g\left(\frac{1}{r_1} - \frac{1}{r_2}\right) = R$$

wo, da ^{sich auch} g den kleineren Hauptkrümmungsradius bezieht, ~~bedeutet~~ R die Bedeutung einer ~~oder~~ ~~positiven~~ ~~oder~~ ~~negativen~~ ~~Grösse~~ hat, es wird

$$\frac{\partial^2 u}{\partial y^2} - \frac{\partial^2 u}{\partial x^2} = -R \cos 2\lambda$$

$$\frac{\partial^2 u}{\partial x \partial y} = \frac{1}{2} R \sin 2\lambda$$

Diesen Formeln entsprechend können auch R und λ für alle Werthgebungen ~~der~~ ~~Grössen~~

~~für die~~ ~~Grössen~~ ~~die~~ ~~die~~ ~~bezeichnet~~ ~~werden~~. In ~~unserer~~ ~~die~~ Resultate enthaltenden

Haupttabelle I sind in der letzten Column

^{zur} die topographischen Werthe von R und d ^{mitgetheilt.} ~~enthalten.~~
^{mit Hilfe} ~~aus diesen Größen~~ ~~lässt sich~~ ~~ein~~ welche sich zur
 grafischen Darstellung eignen lässt sich ein gut
 überschliches Bild der Krümmungsverhältnisse
 herstellen. In der beiliegenden Karte (Fig 10)
 sind diese Größen ~~für~~ für jede Beobachtungsstation
~~durch proportionale~~ durch gerade Linienstücke
 dargestellt, deren Länge mit ^{R} proportional ist
 und deren Richtung dem Werthe von d entspricht.
 Die augenfällige Regelmässigkeit in der
~~Richtung~~ ~~Richtung~~ Richtung dieser Linienstücke
 erlaubt auch ~~leicht~~ eine Reihe von Haupt-
 Krümmungslinien in die Karte ^{zu} zeichnen.
 Zuerst jene welche die ~~Definieren~~ Linienstücke R
 tangieren, das in der Richtung des grösseren
^{Haupt} Krümmungsradius verlaufen, dann die darauf
 Normale.

Auf diese Weise geschieht auch eine ge.

graphische
 Wirtung Ungleichung der Resultate bezüglich der
 Werte von λ . Eine solche graphische Ausgleichung
 ist kaum ^{auch für} R durch ~~den~~ ~~Einfluss~~
~~jenes~~ Linien auf ~~den~~ ~~Wert~~ geboten, welche
~~gleich~~ ~~großen~~ ^{gleichen} Werten dieser Größe entsprechen.

Diesem Zwecke entsprechen entstand die Karte
 (Fig. 11) welche ~~die~~ ~~Werte~~ ^{die Werte} R ^{im} ^{untersuchten} ^{Gebiete} ⁱⁿ
~~den~~ ~~Werten~~ ~~des~~ ~~10-9~~ ~~Ordners~~ ~~enthält~~ durch Linien
 darstellt deren Wertabstand ~~für~~ 10 Einheiten ~~des~~
 10-9 Ordners beträgt.

g) Bestimmung und Darstellung der Form
einer Niveaufläche.

Die Form der Niveaufläche ist durch die Größen

$$\frac{\partial^2 U}{\partial x^2}, \frac{\partial^2 U}{\partial y^2}, \frac{\partial^2 U}{\partial z^2} \text{ und } \frac{\partial^2 U}{\partial x \partial y}$$

bestimmt, zwischen welchen für die Schwerkraft
folgende Beziehung besteht:

$$\frac{\partial^2 U}{\partial x^2} + \frac{\partial^2 U}{\partial y^2} + \frac{\partial^2 U}{\partial z^2} = 2W^2$$

wo W die Winkelgeschwindigkeit der Erdrotation be-
deutet.

Die Kenntnis der ~~genau~~ ^{durch die Drehbewegung bestimmten} ~~Werte~~ ^{Größen}
~~von~~ $(\frac{\partial^2 U}{\partial y^2} - \frac{\partial^2 U}{\partial x^2})$ und $\frac{\partial^2 U}{\partial x \partial y}$ ist daher ^{für sich allein} noch unzureichend
~~um~~ diese Form zu ~~bestimmen~~ ^{ermitteln}.

Will man physikalische Methoden zu verwenden
um diesen Mangel abzuheben. So ~~ist~~ ^{kann} die Jolly'sche
Methode zur Bestimmung von $\frac{\partial^2 U}{\partial z^2}$ ~~wahl~~ ^{dienen} ~~benutzt~~ und
es wäre möglich durch Vergleichung des Schwingen eines
langer und kurzer Pendel ^{zur Kenntnis derselben Größen zu gelangen.} ~~die~~ ~~Größen~~ ~~zu~~ ~~ermitteln~~

~~Auch wäre~~ Auch könnte durch Beobachtungen
an Paddeln deren Trägheitsachsen ^{zur} ~~der~~ vertikalen
verschieden geneigt sind die Größe $(\frac{\partial^2 \eta}{\partial x^2} - \frac{\partial^2 \eta}{\partial y^2})$ in ähnli-
cher Weise bestimmt ^{werden} wie dies mit Drehwaage betreffend
der Größe $(\frac{\partial^2 \eta}{\partial x^2} - \frac{\partial^2 \eta}{\partial y^2})$ geschieht.

Die July-~~sche~~ Methode ~~aber~~ sowie die anderen
hier angedeuteten Verfahren versprechen ^{aber} keine ge-
nügende Genauigkeit ^{unserem} ~~hier verfolgten~~ Zwecke
zu dienen. Es ~~handelt sich ja hier~~ sollen ja
~~Werte~~ von der Ordnung 10^{-3} ermittelt werden
und da ~~die~~ ^{die} ~~von~~ ^{Werte} ~~bestimmte~~ ^{für} Φ rund 3000 Einheiten
diese Ordnung beträgt ^{und} $(\frac{\partial^2 \eta}{\partial x^2} - \frac{\partial^2 \eta}{\partial y^2})$ noch um die Hälfte
größer ist ^{man} ~~würde~~ ^{die} ~~hier~~ ^{Größen} bis auf Tausendstel
Theile ~~bestimmen~~ ^{genau} bestimmt werden ^{man} ~~ist~~ ^{die}
Summen mit den Angaben der Drehwaage in ~~Rechnung~~
Betrachtung ^{sicher zu können} ~~gegenüber zu werden~~. Diese Genauigkeit
^{ist} ~~aber~~ ^{ist} nach lange nicht erreicht.

Es soll ^{nun} hier gezeigt werden wie durch in Stillenahme
 geodetische Messungen ~~den~~ ^{den} ungeduldeten Mangel ~~aus~~
 abzuheben ist ~~wieder~~ ^{wie} im besonderen die Kenntniss der
 mittleren Krümmung ~~des~~ ^{zwei} zwischen zwei Punkten ~~des~~
 des unterstellten Gebiets die ~~unter~~ ~~suchten~~ ~~Gebiets~~ ~~so~~ ~~mit~~ ~~zu~~ ~~Hülfe~~ ~~Nahme~~ ~~der~~
 Dreckswagen beobachtungen in der Weise ergründet, dass
~~hier~~ ~~die~~ Lathrichtungen und Krümmungen in
 allen Punkten ^{des Gebiets} ~~damit~~ bekannt werden.

Ich will mich auf die meinen Beobachtungen entspre-
 chenden Fall beschränken, dass es sich ~~um~~ ^{um} die Bestimmung
 eines ^{nur} kleinen Theiles der Niveaufläche handelt, dessen ^{haben}
 Ausdehnung in Länge und Breite ~~aus~~ ^{den} ~~den~~ ~~Bojen~~ ~~von~~ ~~einem~~ ~~Grad~~
 nicht übersteigt.

Für das ganze untersuchte Gebiet soll ~~was~~ ^{ein} ~~ein~~ ~~und~~.
 Darnach rechtwinkelige Koordinaten system $\{ \eta, \xi \}$
 eingeführt werden dessen Anfangspunkt in einem Punkte
 innerhalb des Gebiets liegt und ^{den} $\{ \eta \}$ Ebene in diesem
 Punkte mit der Horizontal Ebene $\{ \xi \}$ zusammenfällt.

aber mit dieser einen sehr kleinen ~~Winkel~~ von
der Ordnung der Lathablenkungen eintritt.

Es soll gezeigt werden dass die orthogonale Projectionen
~~solcher Punkte die auf~~
~~der untersuchten~~ Bodenfläche liegen von Punkten welche
auf untersuchten Bodenfläche liegen seien durch die
Coordinationen ξ, η bestimmt. Es soll nun gezeigt

werden, dass die Werte der Größen $(\frac{\partial u}{\partial \xi^2} - \frac{\partial u}{\partial \eta^2})$
und $\frac{\partial u}{\partial \xi \partial \eta}$ in diesen Punkten durch die beobachte-

ten $(\frac{\partial u}{\partial \xi^2} - \frac{\partial u}{\partial \eta^2})$ ersetzt werden können mit einer Annä-
herung welche der Genauigkeit der Beobachtungen

entspricht. Vorausgesetzt wird ^{allerdings} dass das Terrain ^{nicht} zu sehr von der
~~nicht~~ Ebene abweicht so
bald ~~als~~ ^{die} die ~~die~~ Abstände der Bodenfläche

von der ξ, η Ebene klein genug ^{sein} ~~werden~~ ^{uns} Verän-

derungen der Werte $(\frac{\partial u}{\partial \xi^2} - \frac{\partial u}{\partial \eta^2})$ und $\frac{\partial u}{\partial \xi \partial \eta}$ innerhalb dieser

Abstände vernachlässigen zu dürfen.

Setzen wir nämlich:

$$\begin{array}{lll} \cos(x, \xi) = \alpha & \cos(x, \eta) = \beta & \cos(x, \zeta) = \gamma \\ \cos(y, \xi) = \alpha' & \cos(y, \eta) = \beta' & \cos(y, \zeta) = \gamma' \\ \cos(z, \xi) = \alpha'' & \cos(z, \eta) = \beta'' & \cos(z, \zeta) = \gamma'' \end{array}$$

so erhalten wir

$$\frac{\partial u}{\partial \xi} = \frac{\partial u}{\partial x} \alpha + \frac{\partial u}{\partial y} \alpha' + \frac{\partial u}{\partial z} \alpha''$$

$$\frac{\partial u}{\partial \eta} = \frac{\partial u}{\partial x} \beta + \frac{\partial u}{\partial y} \beta' + \frac{\partial u}{\partial z} \beta''$$

$$\frac{\partial u}{\partial \zeta} = \frac{\partial u}{\partial x} \gamma + \frac{\partial u}{\partial y} \gamma' + \frac{\partial u}{\partial z} \gamma''$$

und dann:

$$\begin{aligned} \frac{\partial^2 u}{\partial \eta^2} - \frac{\partial^2 u}{\partial \xi^2} &= \frac{\partial^2 u}{\partial y^2} (\beta'^2 - \alpha'^2) + \frac{\partial^2 u}{\partial x^2} (\beta^2 - \alpha^2) + \frac{\partial^2 u}{\partial z^2} (\beta''^2 - \alpha''^2) \\ &+ 2 \frac{\partial^2 u}{\partial x \partial y} (\beta \beta' - \alpha \alpha') + 2 \frac{\partial^2 u}{\partial x \partial z} (\beta \beta'' - \alpha \alpha'') + 2 \frac{\partial^2 u}{\partial y \partial z} (\beta' \beta'' - \alpha' \alpha'') \end{aligned}$$

$$\begin{aligned} \frac{\partial^2 u}{\partial \xi \partial \eta} &= \frac{\partial^2 u}{\partial x \partial y} (\alpha \beta' + \alpha' \beta) + \frac{\partial^2 u}{\partial x \partial z} (\alpha \beta'' + \alpha'' \beta) + \frac{\partial^2 u}{\partial y \partial z} (\alpha' \beta'' + \alpha'' \beta') \\ &+ \frac{\partial^2 u}{\partial x^2} \alpha \beta + \frac{\partial^2 u}{\partial y^2} \alpha' \beta' + \frac{\partial^2 u}{\partial z^2} \alpha'' \beta'' \end{aligned} \quad \dots 12)$$

Wenn nun $\delta \varphi$ und $\delta \lambda$ die geographische Breiten Differenz und Längen Differenz ^{zwischen dem} ~~dem~~ Punkten ξ, η und dem Anfangspunkte bedeutet so ~~ist~~ ~~ist~~ mit Vernach-

Wir setzen ^{für} Punkte dieser Ebene:

$$\left(\frac{\partial u}{\partial y^1} - \frac{\partial u}{\partial \xi^1} \right) = \left(\frac{\partial u}{\partial y^2} - \frac{\partial u}{\partial \xi^2} \right)$$

$$\frac{\partial u}{\partial \xi^1} = \frac{\partial u}{\partial y^1}$$

und den Gleichungen 10 entsprechend:

$$\frac{\partial u}{\partial \xi} = \frac{\partial u}{\partial z} \alpha'' = g \cos(z, \xi) = g \xi$$

$$\frac{\partial u}{\partial \eta} = \frac{\partial u}{\partial z} \beta'' = g \cos(z, \eta) = g \eta$$

$$\frac{\partial u}{\partial z} = g$$

Wo g_ξ und g_η die Komponenten der Bestimmung g in der Richtung der ξ und η bedeuten.

~~Die Winkel~~ welche die Projektion ^{auf die Meridianebene ($\xi\xi$ -Ebene)} der Richtung ~~der~~ ^{die} Lotrichtung ~~($\xi\xi$ -Ebene)~~ ^($\xi\xi$ -Ebene) mit der ξ -Achse bildet ist dann

$$\mu = \frac{g_\xi}{g} = \frac{\partial u}{\partial \xi}$$

und der Winkel λ , den ~~die~~ ^{die} Projektion der Lotrichtung auf die erste Vertikalebene ($\eta\xi$ -Ebene) mit der selben Achse bildet ist

$$\lambda = \frac{g_\eta}{g} = \frac{1}{g} \frac{\partial u}{\partial \eta}$$

Dabei sollen μ und λ positive Werte annehmen

wenn ^{sich} das untere Ende des Lotkes nach Norden resp.
nach Osten ~~gerichtet~~ ^{ist}.

Der Abstand z eines Punktes ~~der~~ ~~Horizontfläche~~
des durch den Coordinaten Anfangspunkt gelegten
Niveaufläche von der ξy Ebene ~~ist~~ ~~z~~ ist dargestellt

durch

$$z = -\frac{U - U_0}{g}$$

wo U_0 den Potentialwerth im Coordinaten Anfangs-
punkte bedeutet.

~~Wenn also die Werte von $\frac{\partial U}{\partial x}$ und $\frac{\partial U}{\partial y}$~~

~~die Aufgabe festgelegt sein~~ ~~das~~ ~~aus einer~~
~~entsprechenden Anzahl~~

Es sollen nun diese die Niveaufläche ^{darstellenden} ~~bestimmen~~

Größen ~~mit~~ ^{durch} Beobachtungen mit der Drehwaage,
und durch Bestimmung ~~der~~ ~~Bestimmung~~ des Pol-

höhen Differenz h_{12} zweier Punkte ermittelt werden,
deren Entfernungen in der Meridianrichtung abgemessen
wurde.

~~Die Aufgabe kann jetzt wiederum~~

Die Grundbedingung der Lösbarkeit dieser Aufgabe
 besteht darin dass die Beobachtungsstationen
 nicht genügt vertheilt seien um zwischen ~~bestimmten~~^{je}
 zwei Beobachtungen eine lineare Veränderung
 der Größen $(\frac{\partial^2 U}{\partial \eta^2} - \frac{\partial^2 U}{\partial \xi^2})$ und $\frac{\partial^2 U}{\partial \xi \partial \eta}$ ausmachen zu dürfen.

~~Im Laufe meiner Rechnungen habe ich die~~
~~Aufgabe in zwei Theile zerlegt, dann in~~
 die Lösung der Aufgabe kann es ~~verschiedene~~ mehrfacher Weise geschehen.
 Das erste Verfahren welches ich ~~zur Lösung~~
~~des~~ ~~wichtigsten~~ ~~Aufgabe~~ anwendete ~~das~~ ~~ich~~ ~~auch~~
 in ~~meiner~~ ~~Arbeit~~ ~~des~~ ~~15ten~~

Konferenz der Internationalen Gradmessung in
 Brüssel ~~mit~~ ^{mündlich} ~~zu~~ ~~theilen~~ die Ehre hatte, ~~habe~~ ^{wurde}
 im Laufe der Berechnung der ~~Acad. ~~Arbeit~~~~ ^{Resultate}
 durch ~~ein~~ ^{ein} anderes ersetzt, welches als von
 den Beobachtungsstationen weniger abhängig besser
 sein dürfte.

Sei es mir erlaubt ^{hier} eine kurze Darstellung
~~des~~ ^{beider} Verfahren zu geben.

$$\frac{\partial}{\partial s} \frac{\partial^2 u}{\partial n^2} = \frac{\partial}{\partial n} \frac{\partial^2 u}{\partial n \partial s}$$

so ist auch

$$\int_I^{\text{II}} \frac{\partial}{\partial n} \left(\frac{\partial^2 u}{\partial n \partial s} \right) ds = \left(\frac{\partial^2 u}{\partial n^2} \right)_{\text{II}} - \left(\frac{\partial^2 u}{\partial n^2} \right)_I$$

und mit Hilfe der Beziehung:

$$\frac{\partial^2 u}{\partial n^2} + \frac{\partial^2 u}{\partial s^2} + \frac{\partial^2 u}{\partial \xi^2} = 2\omega^2$$

erhalten wir

$$\left(\frac{\partial^2 u}{\partial \xi^2} \right)_{\text{II}} - \left(\frac{\partial^2 u}{\partial \xi^2} \right)_I = \left(\frac{\partial^2 u}{\partial n^2} - \frac{\partial^2 u}{\partial s^2} \right)_{\text{II}} - \left(\frac{\partial^2 u}{\partial n^2} - \frac{\partial^2 u}{\partial s^2} \right)_I - 2 \int_I^{\text{II}} \frac{\partial}{\partial n} \left(\frac{\partial^2 u}{\partial n \partial s} \right) ds$$

13)

~~Die Richtungen von I und II~~

~~Die ersten zwei Glieder der rechten Seite dieser~~
~~Gleichung~~ Die Werte für ^{das} ~~dieses~~ Koordinatensystem
 sind werden mit Hilfe der Gleichungen § aus denen
 erhalten welche für ^{ein} ~~ein~~ meridional Lage ~~ein~~
 gelegenes Koordinatensystem gelten. Die Richtungen
 von ~~s~~ und ~~n~~ sowie die Koordinaten der
 Punkte in diesen Richtungen werden aus der
 benützten Karte genommen ~~und~~ Zur Bestimmung

~~Der Annahme linearer Kräfte~~

Die Werte $\frac{\partial^2 U}{\partial x^2}$ dienen die Differenzen der
Werte in den Eckpunkten des ~~dreieckigen~~ ^{betreffenden} Dreiecks und
die Coordinaten x dienen ~~Eckpunkte~~ ^{Punkte}.

Von I zu II von II zu III ~~usw.~~ u.s.w. fortzuschreiten
kann man als
~~ist~~ die Differenz:

$\left(\frac{\partial^2 U}{\partial x^2}\right)_N - \left(\frac{\partial^2 U}{\partial x^2}\right)_I$
für jeden mit dem Anfangspunkte I durch ^{eine gehörige Anzahl von} ~~zwischen~~ Punkten
gehörig verbundenen ~~Punkt N~~ ^{ist Punkt N}

Da nun in jedem Punkte $\left(\frac{\partial^2 U}{\partial y^2} - \frac{\partial^2 U}{\partial x^2}\right)$ durch die
Beobachtung bekannt ist und ausserdem die Beziehung

$\Delta U = 2W$ besteht ~~er in demselben~~ können

~~für die~~ die Werte von $\frac{\partial^2 U}{\partial x^2}$, $\frac{\partial^2 U}{\partial y^2}$ und $\frac{\partial^2 U}{\partial z^2}$ durch

Formeln ~~aus~~ dargestellt werden welche mit

den einen unbekanntem Werte: $\left(\frac{\partial^2 U}{\partial z^2}\right)_I$ enthalten.

Die ersten Differentialquotienten des Potentials,
also Werte welche die Selbstwirkung darstellen erhalten wir
auf Grundlage der Formeln

$$\left(\frac{\partial U}{\partial x}\right)' - \left(\frac{\partial U}{\partial y}\right) = \int \frac{\partial^2 U}{\partial x^2} dx + \int \frac{\partial^2 U}{\partial y^2} dy$$

$$\left(\frac{\partial U}{\partial y}\right)' - \frac{\partial U}{\partial z} = \int \frac{\partial^2 U}{\partial y^2} dy + \int \frac{\partial^2 U}{\partial z^2} dz$$

Durch Integration erhalten wir dann

Die Differenz der Lohrichtungen zweier Punkte
erhalten ~~man~~ ^{nach} folgenden Formeln:

$$\mu' - \mu = \frac{1}{g} \left(\frac{\partial \mu}{\partial \xi} \right) - \frac{1}{g} \left(\frac{\partial \mu}{\partial \eta} \right) = \frac{1}{g} \int \frac{\partial^2 \mu}{\partial \xi^2} d\xi + \frac{1}{g} \int \frac{\partial^2 \mu}{\partial \xi \partial \eta} d\eta$$

$$\lambda' - \lambda = \frac{1}{g} \left(\frac{\partial \lambda}{\partial \eta} \right) - \frac{1}{g} \left(\frac{\partial \lambda}{\partial \xi} \right) = \frac{1}{g} \int \frac{\partial^2 \lambda}{\partial \eta^2} d\eta + \frac{1}{g} \int \frac{\partial^2 \lambda}{\partial \xi \partial \eta} d\xi$$

wo die rechten Seiten dieser Gleichungen
~~hier~~ enthalten ~~und~~ nur die eine Unbekannte

$\left(\frac{\partial^2 \mu}{\partial \xi^2} \right)_I$ enthalten. ~~Daher welche~~

~~so~~ ~~den~~ ~~Werten~~ $(\mu' - \mu)$ oder $(\lambda' - \lambda)$ durch astro-
nomische Beobachtungen bestimmt ~~wird~~ ^{wird} ~~werden~~, so kann
unbekannte berechnet werden. ~~Kann~~. ~~Somit~~ ~~ist~~ ~~die~~

Aufgabe ~~gelöst~~, ist hierdurch gelöst.

Wird dieses Rechenverfahren auf ein geschlossenes
Polygon angewendet, so bietet sich zur Beurtheilung
seiner ^{oder} ~~der~~ ^{vielen} ~~der~~ ^{mehrere} ~~der~~ Kontrolle:

~~Es soll~~ Die Summen um das ganze Polygon gebildet ^{sollen nämlich} ~~sein~~
 $\sum \frac{\partial^2 \mu}{\partial \xi^2} = 0$ ^{folgenden Bedingungen genügt} ~~werden~~:

$$\sum \frac{\partial^2 \mu}{\partial \xi^2} = 0 \quad \text{und} \quad \sum \frac{\partial^2 \mu}{\partial \eta^2} = 0$$

Dann soll nach:

$$\int \frac{\partial^2 \mu}{\partial s^2} ds = 0$$

Diese Rechenmethode, welche ich ~~probeweise~~
~~in~~ ~~guten~~ ~~Beurteilung~~ ~~auf~~ ~~Beobachtungen~~ ~~auf~~ ~~ein~~ ~~Netz~~ ~~von~~ ~~Stationen~~ ~~in~~
 Beobachtungen in ~~guten~~ ~~einem~~ ~~Zimmer~~ ~~des~~ ~~physikalischen~~ ~~Instituts~~
~~einem~~ ~~Zimmer~~ ~~geliefert~~ ~~Stationen~~ ~~mit~~ ~~gutem~~
 Erfolg ~~angewendet~~ ~~haben~~ ~~hat~~ ~~sich~~ ~~bei~~ ~~der~~ ~~Berechnung~~
~~der~~ ~~bei~~ ~~Anwendung~~ ~~auf~~ ~~die~~ ~~Abwies~~ ~~Beobachtungen~~

als ungenügend erwiesen. ~~Da~~ ~~da~~ ~~sich~~ ~~da~~ ~~Da~~
~~die~~ ~~sehr~~ ~~näherte~~ ~~die~~ ~~Bestimmung~~ ~~der~~
 gewöhnlich ~~kleinen~~ Differenzen der Werte $\frac{\partial u}{\partial x}$ begründet
 ist, so bedarf sie ~~so~~ ~~genauer~~ ~~Beobachtungen~~, wie ~~dies~~ ~~in~~ ~~Freien~~
~~hier~~ ~~in~~ ~~Freien~~ ~~ohne~~ ~~merkliche~~ ~~Wiederholung~~ ~~der~~
 in einem ~~grünem~~ ~~Gebiete~~ ~~möglich~~ ~~ist~~.
 Beobachtung ~~Kaum~~ ~~erfüllt~~ ~~werden~~ ~~können~~.

b) Lösung der Aufgabe durch schrittweise Bestimmung

der Differenzen $\left(\frac{\partial u}{\partial x}\right)' - \left(\frac{\partial u}{\partial x}\right)$ und $\left(\frac{\partial u}{\partial y}\right)' - \left(\frac{\partial u}{\partial y}\right)$.

~~Wie~~ ~~vorher~~ ~~wurden~~ ~~Beobachtungen~~ ~~in~~ ~~Punkten~~ ~~der~~
~~ausgeführt~~ ~~welche~~ ~~in~~ ~~den~~ ~~Ecken~~ ~~einer~~ ~~die~~ ~~Quadratlinie~~

liegen. Als Grundlage dienen Beobachtungen in
 Punkten 1, 2, 3, 4, ^{n. o. w.} ~~welche~~ ~~wie~~ ~~vorher~~ ~~in~~ ~~einer~~
 Zick-Zack Linie liegen. (Fig. 12)

der ξ Ebene und in dieser Ebene

Es seien a und b zwei benachbarte Punkte ~~benachbarte~~
 auf ein ~~koordinaten~~ ^{Cartesisches} System der ^{ersten} Art ~~die~~
~~Richtung~~ von a nach b gerichtet ^{ist} und ~~die~~
 n ~~in der Richtung der~~ ~~gerichtet~~ ~~ist~~
~~das~~ ~~System~~ ~~durch~~ ~~Drehung~~ ~~im~~ ~~System~~
~~st~~ ~~mit~~ ~~der~~ ~~Richtung~~ ~~des~~ ~~Uhrzeigers~~
 den Winkel $\frac{\pi}{2}$ bildet. ~~Es~~ ~~ist~~ ~~damit~~ ~~ist~~:

$$\int_a^b \frac{\partial U}{\partial n ds} ds = \left(\frac{\partial U}{\partial n}\right)_b - \left(\frac{\partial U}{\partial n}\right)_a$$

am) ~~Der~~ ~~Annäherung~~ ~~in~~ ~~Annäherung~~ ~~linearer~~ ~~Veränderungen~~ ~~entsprechend~~ ~~:~~
~~Annäherung~~ ~~linearer~~ ~~Veränderungen~~ ~~entsprechend~~ ~~:~~

$$\int_a^b \frac{\partial U}{\partial n ds} ds = \frac{1}{2} \left\{ \left(\frac{\partial U}{\partial n ds}\right)_a + \left(\frac{\partial U}{\partial n ds}\right)_b \right\} \Delta_{ab}$$

Indem wir ^{den} ~~den~~ Winkel zwischen der Richtung $a \rightarrow b$
~~und~~ ~~der~~ ~~normalen~~ ~~Coordinate~~ ~~achse~~ ~~mit~~
 α_{ab} bezeichnen, ~~so~~ ~~erhalten~~ ~~wir~~
 die ~~Werte~~ ~~von~~ $\frac{\partial U}{\partial n}$ ~~in~~ ~~diesem~~ ~~System~~ ~~erhält~~ ~~sich~~

$$\frac{\partial U}{\partial n} = -\frac{\partial U}{\partial \xi} \sin \alpha_{ab} + \frac{\partial U}{\partial \eta} \cos \alpha_{ab}$$

~~So~~ ~~erhalten~~ ~~wir~~ ~~erhalten~~ ~~ist~~ ~~und~~ ~~:~~

Siehe fünf Gleichungen reichen nicht aus zur Bestimmung der sechs unbekanntes. ~~einmal~~
~~als~~ ~~ist~~ Im ersten der Berechnung unterzogenen (siehe Fig. 13) Dreiecke 1, 2, 3 ^{er} ~~benutzt~~ ^{aber} ~~aber~~ ~~an~~ ~~den~~ ~~Werte~~ ~~mit~~ ~~Hilfe~~ ~~von~~ ~~den~~ ~~Werten~~ ~~von~~ ~~den~~ ~~anderen~~ ~~in~~ ~~der~~ ~~Berechnung~~. Diese Größen ξ_{12} welche ~~von~~ ~~man~~ ~~nicht~~ ~~werden~~ ~~ermittelt~~ ~~werden~~ ~~können~~ kann wie ~~oben~~ ~~erklärt~~ ~~werden~~ ~~wird~~ ~~durch~~ ~~die~~ ~~Palhöhenbestimmungen~~ ~~ermittelt~~ ~~werden~~.

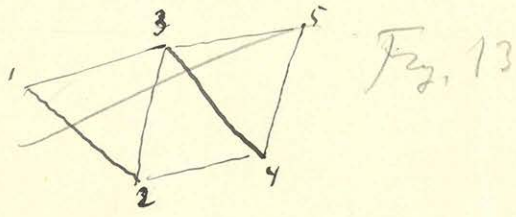


Fig. 13

Vom ersten Dreieck ~~her~~ ~~wird~~ ~~man~~ ~~nach~~ ~~dem~~ ~~zweiten~~ ~~234~~ ~~fortgeschritten~~

Der Gang der Rechnung ist nun der folgende:

gesetzt wird:

$$\xi_{12} = a$$

aus der 1^{ten} der Gleichungen 15) folgt:

$$\xi_{12} = \frac{T_{12} + a \sin \alpha_{12}}{\cos \alpha_{12}}$$

mit Hilfe ~~der~~ ~~aus~~ ~~14~~ ~~sich~~ ~~ergebenden~~ ~~allgemeinen~~ ~~Gleichungen~~ ~~und~~ ~~wie~~ ~~berechnen~~ ~~die~~ ~~Werte~~ ~~von~~ ξ_{23} und ξ_{34} ~~aus~~ ~~folgenden~~ ~~sich~~ ~~Formeln~~ welche den Gleichungen 15 entsprechen. Diese sind:

$$\xi_{bc} = \frac{T_{bc} \cos \alpha_{ca} + (T_{ca} - \xi_{ab} \sin \alpha_{ca} + \eta_{ab} \cos \alpha_{ca}) \cos \alpha_{bc}}{\sin(\alpha_{ca} - \alpha_{bc})}$$

$$\eta_{bc} = \frac{T_{bc} \sin \alpha_{ca} + (T_{ca} - \xi_{ab} \sin \alpha_{ca} + \eta_{ab} \cos \alpha_{ca}) \sin \alpha_{bc}}{\sin(\alpha_{ca} - \alpha_{bc})}$$

= 16

~~Berechnen wir dann ξ_{23} und η_{23} .~~

Dann schreiben wir weiter und in den
~~für~~ $a=2$ $b=3$ ~~gesetzt~~ ~~wird~~ und $c=4$ ~~in~~
 gesetzt ^{wird} berechnen wir aus den Gleichungen
 16) die Werte ξ_{34} und η_{34} ~~die~~
~~die Rechnung so~~ , dann $a=3$ $b=4$ $c=5$
 gesetzt die Werte von ξ_{45} und η_{45} und so
 weiter.

Diese Art der Berechnung wurde für die
 Beobachtungen der Arader Gebirge thätlich
 ausgeführt und zwar für eine 91 Kilometer lange
 Liniennetze welche mit 40 Stationen ein
 nahezu gleichschenkeliges Dreieck umschließt. (~~Fig 7~~)
 Dieses ganze geschlossene Dreiecknetz ist auf der
 Übersichtskarte (Fig 7) sichtbar gemacht.

Die Rechnung geschah ^{mit} jenem Systeme von Werten,
welches wir topographische Störungsweite nannten,
also ^{ausgehend von} ~~von~~ den Werten $(\frac{\partial^2 U}{\partial \eta^2} - \frac{\partial^2 U}{\partial \xi^2})^{\text{III}}$ und $(\frac{\partial^2 U}{\partial \xi \partial \eta})^{\text{III}}$.

Dementsprechend erhalten ^{wird} als Ergebnisse der Rechnung auch
solche Störungsweite für

$$(\frac{\partial^2 U}{\partial \xi^2})_b''' - (\frac{\partial^2 U}{\partial \xi^2})_a'''$$

und

$$(\frac{\partial^2 U}{\partial \eta^2})_b''' - (\frac{\partial^2 U}{\partial \eta^2})_a'''$$

Wenn also mit $\Delta \mu$ und $\Delta \lambda$ die Lotabweichungen
in einem Punkte bezeichnet werden so sind

diese:

$$\Delta \mu = \frac{1}{g} (\frac{\partial^2 U}{\partial \xi^2})^{\text{III}}$$

$$\text{und} \quad \Delta \lambda = \frac{1}{g} (\frac{\partial^2 U}{\partial \eta^2})^{\text{III}}$$

Die Rechnung führt also zur Bestimmung von

$$\Delta \mu_b - \Delta \mu_a = \frac{1}{g} (\frac{\partial^2 U}{\partial \xi^2})_b''' - \frac{1}{g} (\frac{\partial^2 U}{\partial \xi^2})_a'''$$

$$\Delta \lambda_b - \Delta \lambda_a = \frac{1}{g} (\frac{\partial^2 U}{\partial \eta^2})_b''' - \frac{1}{g} (\frac{\partial^2 U}{\partial \eta^2})_a'''$$

17)

2. i. zur Bestimmung der relativen Lothablenkungen.

Die Rechnungsergebnisse sind in der beifolgenden Tabelle III ~~derart~~ zusammengestellt, dass in der zweiten und dritten Columne die Wächtdifferenzen für je zwei in einem Liniennetz gehörige ^{Nahebei} Punkte angegeben sind während die ~~fünften~~ ^{Sechsten} und ~~sechsten~~ ^{fünften} Columne ~~die~~ die Differenzen ^{der einzelnen} ~~der~~ Stationswerthe von gemeinsamen Anfangswerten enthält. ~~Als~~ Als solche Anfangswerte wurden gewählt für $(\frac{24}{29})^{III}$ der Stationswerth $(\frac{24}{29})_{2153}$ für $(\frac{24}{29})^{IV}$ dagegen der Stationswerth $(\frac{24}{29})_{2103}$. Die Werthe der fünften und Sechsten Columne entsprechen daher den Lothablenkungen selbst bezogen auf ein Bessel'sches Ellipsoid (E) für welche ~~die~~ für welche $\Delta\mu$ im Punkte 2153, $\Delta\lambda$ aber im Punkte 2103 gleich Null wird.

Diese ^{im allgemeinen willkürliche} Wahl der Anfangswerte und der entsprechenden Ellipsoide (E) geschah in eben dieser Weise

darum weil die ~~Annahme~~ ~~von~~ ~~der~~ ~~Leitfähigkeit~~
~~im~~ ~~Punkte~~ ~~2153~~ ~~den~~ ~~Beobachtungen~~ ~~von~~ $\left(\frac{\partial u}{\partial x}\right)$
 und $\left(\frac{\partial u}{\partial y}\right)$ ~~entsprechende~~ ~~und~~ ~~angeordnete~~ ~~in~~ ~~der~~ ~~Figur~~ ~~8~~ ~~dargestellte~~ ~~Massen-~~
 andrängung es anzuzeigen scheint dass die Lith-
 störmungs ~~Componenten~~ ~~in~~ ~~diesen~~ ~~Punkten~~ ~~theilweis~~
 kleine sind. Punkt 2153 liegt nämlich ober einem
 in ~~bestimmte~~ ~~West~~ ~~östlicher~~ ~~Richtung~~ ~~sich~~ ~~erstreckenden~~
 Massenzuge, Punkt 2103 ~~in~~ ~~grösserer~~ ~~Entfernung~~ ~~von~~ ~~den~~
 im Osten angehäuften störenden Massen.

Die Zulässigkeit der Rechnung ~~auf~~ ~~den~~
 lässt sich aus der Tabelle selbst beurtheilen.
 Es müsste nämlich für die ganze gezeichnete
 Linie sein:

$$\left\{ \left(\frac{\partial u}{\partial x} \right)_b - \left(\frac{\partial u}{\partial x} \right)_a \right\} = 0$$

$$\left\{ \left(\frac{\partial u}{\partial y} \right)_b - \left(\frac{\partial u}{\partial y} \right)_a \right\} = 0$$

oder was gleichbedeutend ist, müssten die Werthe
 $\frac{\partial u}{\partial x}$ im Punkte 2150 dieselben sein ob dieser als Anfangs-
 punkt oder Endpunkt ~~der~~ ~~ganzen~~ ~~Betrachtung~~ ~~wird~~.

Die Tabelle zeigt von des Anfangs ^{Worths des} Endwerts
 des GröÙe $\left\{ \left(\frac{24}{23} \right)_{2150}^{111} - \left(\frac{24}{23} \right)_{2153}^{111} \right\}$ ^{aus} um $0,72 \cdot 10^{-3}$ von einander
 abweichen, dieselbe Abweichung zwischen den zwei
 Werten von $\left\{ \left(\frac{24}{23} \right)_{2150} - \left(\frac{24}{23} \right)_{2103} \right\}$ beträgt dagegen $10,03 \cdot 10^{-3}$.

~~Es sind dies Fehler welche in Wirklichkeit ausgeführt
 Faktoren der Vollständigkeitsleistung entsprechen,
 welche die ~~Intermittenz~~ Fehler des Logarithmus-
 bestimmung ~~ausgemacht~~ circa $\frac{1}{6}$ Sekunde und
 2 Sekunden. Fehler welche begünstigt der Latenzzeit
 im ~~Wahlverfahren~~ ^{ausgemacht} $\frac{1}{6}$ Sekunde und 2 Sekunden
 betragen. In der ~~Bestimmung~~ ^{Bestimmung} der ~~Lothablenkung~~
 die ~~entsprechenden~~ ^{eine auf die andere Weise ausgeführt} Fehler bei der ~~Bestimmung~~~~

In den Werten der Lothablenkungen ~~wird~~
 entsprechen diesen Abweichungen Fehler von $\frac{1}{5}$ Sekunde
 und von 2 Sekunden.

Seiner könnte durch ^{Beimischung} ~~Zugrundelegung~~ einer ~~Dobbin~~
 Beobachtungsnetzes ~~der Hauptbedingung~~ die ~~Grund~~ ^{Bedingung}
~~bedingende~~ ^{bedingende} ~~Hauptbedingung~~ linearer Veränderungen ^{der Beobachtung}

besser genügt werden, und so eine noch
 befriedigendere Übereinstimmung erzielt werden.
~~Ich behaupte~~ Ich behaupte es für eine meiner
 nächsten Aufgaben diese ~~Ergebnisse~~ wünschenswerte
 Ergänzung ~~der Beobachtungen~~ zu bewerkstelligen,
 wobei dann auch die zur Bestimmung der
 Größe a durch Polhöhenbeobachtungen im
 Angriff genommen werden soll.

Eine weitere wertvolle Kontrolle des ~~Verfahrens~~ ^{hier angegebenen Verfahrens}
 bietet für gestörte Beobachtungen die
 Beziehung

$$\int_{50}^{\infty} \frac{du}{u} = 0$$

Diese Probe ~~ist~~ ^{ist} muss mögliches da Sie schon auf der
~~erste~~ ^{erste} Dreieck anwendbar ist und ~~bei~~ ^{bei} jedem ~~folgenden~~
 Schritte ~~die~~ ^{die} Entscheidung darüber kann
 ob ~~in~~ ⁱⁿ ~~die~~ ^{die} dabei der Bedingung lineare Verhältnisse
 genügt wurde.

Leider ~~konnte~~ ^{konnte} ~~hierauf~~ ^{hierauf} ~~im~~ ^{im} Verlaufe der
 krassen Beobachtungen noch keine Rücksicht ge-
 nommen, da der Gedanke zu dargelegten
 Berechnung erst später entstand.

Nicht, desto weniger ergibt die nachträgliche
 Rechnung für die einzelnen Dreiecke keinen
~~zu~~ bedeutenden Fehler, Dieser erreicht ~~nur~~
 für einzelne Dreiecke die Größe von 150 C.S.S., ~~ist~~
~~aber~~ ^{aber} für die und für die ganze 91 Kilometer lange
 Längsachse Linie die Größe von 1470 C.S.S..

Es sind dies Arbeitsgrößen entsprechend der
 Hebung des Gewichtes von einem Gramm um 0,15 C.
~~resp.~~ ^{1,50 C} resp. ^{1,44 C}.

Zur Vollständigen Lösung der Aufgabe ist
~~wie schon ganz erwähnt~~ ^{noch} die
 Bestimmung der Größe a (S. Tabelle) erforderlich.
 Diese ~~Größe~~ ^{erzieht sich}, wie schon erwähnt, ~~aus~~ ^{aus}
~~Beobachtung~~ aus der relativen Latitudenmessung

zweier Punkte mit Benutzung ^{einer} der Formeln ~~(17)~~ von

$$\Delta \varphi_6 = \frac{\partial \varphi_6}{\partial x} \frac{\partial x}{\partial \xi} + \frac{\partial \varphi_6}{\partial y} \frac{\partial y}{\partial \xi} + \frac{\partial \varphi_6}{\partial z} \frac{\partial z}{\partial \xi} -$$

welcher ~~die erste~~ die ^{erste} von überwiegend praktischer Bedeutung ist.

~~Wiederum~~ Dieser letzte Teil des Arbeit ist ⁱⁿ den von mir und meinen Mitarbeitern unternommen Gebieten nach nachzukommen.

Wenn dies geschehen und die Werte ^{von} $\left(\frac{\partial \varphi}{\partial x}\right)$, $\left(\frac{\partial \varphi}{\partial y}\right)$, $\left(\frac{\partial \varphi}{\partial z}\right)$, ermittelt sind so können durch Rechnung einerseits die Werte der Größen $\frac{\partial^2 \varphi}{\partial x^2}$, $\frac{\partial^2 \varphi}{\partial y^2}$ und $\frac{\partial^2 \varphi}{\partial z^2}$, andererseits der Wert des Potentials φ berechnet werden.

Ja wir können auch noch zur Kenntnis derselben Größen in einer benachbarten Niveauebene gelangen

Da

$$\frac{\partial}{\partial z} \left(\frac{\partial^2 \varphi}{\partial x \partial z} \right) = \frac{\partial}{\partial x} \left(\frac{\partial^2 \varphi}{\partial z^2} \right) \quad \frac{\partial}{\partial z} \left(\frac{\partial^2 \varphi}{\partial y \partial z} \right) = \frac{\partial}{\partial y} \left(\frac{\partial^2 \varphi}{\partial z^2} \right)$$

$$\frac{\partial}{\partial z} \left(\frac{\partial^2 \varphi}{\partial x^2} \right) = \frac{\partial}{\partial x} \left(\frac{\partial^2 \varphi}{\partial x \partial z} \right) \quad \frac{\partial}{\partial x} \left(\frac{\partial^2 \varphi}{\partial y^2} \right) = \frac{\partial}{\partial y} \left(\frac{\partial^2 \varphi}{\partial y \partial x} \right)$$

$$\frac{\partial}{\partial z} \left(\frac{\partial^2 \varphi}{\partial x \partial y} \right) = \frac{\partial}{\partial x} \left(\frac{\partial^2 \varphi}{\partial y \partial z} \right) = \frac{\partial}{\partial y} \left(\frac{\partial^2 \varphi}{\partial x \partial z} \right)$$

In geschlossenem Raume
 Bei ~~Beobachtungen~~ habe ich auch diese letzten
 Beobachtungen einer Probe unterworfen indem ^{ich} aus
 Beobachtungen welche in einer von 270° über dem
 Fundament liegenden ^{horizontalen} Ebene ausgeführt wurden die
 Werthe für eine um 30° höher gelegene ^{Horizontale} Ebene be-
 rechnete, und ^{dann} mit ~~den~~ ~~selbst~~ ~~den~~ ~~Resultaten~~ ~~verglich~~
 welche die Beobachtungen in dieser höher gelegenen Ebene ~~ergaben~~, unmittelbar ergaben.
~~vergleichen~~ ~~ergaben~~. Die Übereinstimmung war
 in der Genauigkeit der Beobachtungen entsprechend.

10) Grafische Darstellung eines Niveauflüßes.

~~Die~~ ~~Namen~~ auch meine Beobachtungen bis zur Stunde ~~noch~~ ^{noch}
 in Könners Gebiete ~~da~~ zum vollen Abschluss gelangt
 sind, ^{so} will ich ~~es~~ ~~Durch~~ schon jetzt ~~für~~ ~~Diese~~ ~~am~~
 Beispiele des ~~bestimmten~~ ~~bestimmten~~ ~~Arades~~ ~~Gebiets~~
 zeigen wie die gewonnenen Konturen ~~aber~~ ^{berichtigt} ~~die~~
 Niveaufläche auch grafisch dargestellt werden
 können. In Ermangelung beobachteter Lotabwei-
 chungswerte, müssen diese hier durch ^{Annahmen} ~~angegenommen~~
~~Werte~~ ersetzt werden, welche der Massenverteilung
 entsprechend ^{als} wahrscheinlich erscheinen.

Um auch die Rechnung zu erleichtern wurde
 das Beobachtungsnetz durch ein quadratisches Netz
 ersetzt, welches durch ^{die} in meridionaler Richtung ver-
 laufende Columnenlinien I, II, III u. s. w. und durch die
 darauf ^{horizontal} ~~vertikal~~ ~~Laufen~~ ~~den~~ ~~Linien~~ 1, 2, 3, etc. gebildet wird. (S. Fig. 14 und 15)

Für die Eckpunkte dieses quadratischen Netzes wurden die ^{Werte} von $(\frac{\partial \eta}{\partial x})'''$ und $(\frac{\partial \eta}{\partial y})'''$ aus den Werten des benachbarten Stationspunkte durch lineare Interpolation ~~bestimmt~~ ^{bestimmt}. Mit Hilfe dieser Werte ~~lassen~~ ^{lassen} sich dann die Größen $(\frac{\partial \eta}{\partial x})'''$ und $(\frac{\partial \eta}{\partial y})'''$ in der vorher angegebenen Weise berechnen, wobei der Umstand dass nur ^{die} Winkelwerte $\frac{\pi}{4}$ und $\frac{\pi}{2}$ auftreten eine bedeutende Vereinfachung gewährt.

§ Um ~~den Einfluss~~ ^{die} ~~veranschaulichen~~ ^{Veranschaulichen} zu können in welcher ^{Weise} ~~der~~ ^{noch} zu beobachtende Werte ~~in~~ eines ~~in~~ zwischen zwei Punkten bestehender relativen Lotabweichung ~~auf~~ die Darstellung der Niveaupläche ^{beeinträchtigt} ~~auswirkt~~ sind die Rechnungen mit zwei verschiedenen angenommenen Werten derselben ausgeführt. Zwischen den Punkten Zone 12 Col. XV (C) und Zone 4 Col. III ^(B) wurde die meridional Componente ^{relativen} der Lotabweichung einmal zu 4,7 Sec, dann zu 3 Sec angenommen. ~~(Die Differenz der Werte (746.XII) - (712, Col. XII))~~

Die berechneten Werthe wie Sie der ersten Annahme
~~entsprechen~~ ^{entsprechend} sind in der Tabelle IV zusammengestellt.

Die Lathablenkungs componenten ^(bezogen auf das Normale Neigung E^2) selbst verhalten wir Tab. IV
 dann in Winkelmaan ausgedrückt durch Division mit
 $g \cdot 4,8 \cdot 10^{-6} = 4,7 \cdot 10^{-3}$, so dass die Zahl ^{welche} in Einheiten der
 10^{-3} Ordnung die Werthe der Größen $\frac{\partial u}{\partial \xi}$ und $\frac{\partial u}{\partial \eta}$ ausdrückt
 durch 4,7 dividirt die entsprechenden Lathablenkungen in
 Sekunden anzeigt.

Die Resultante der Componenten $\left\{ \left(\frac{\partial u}{\partial \xi} \right)''' - \left(\frac{\partial u}{\partial \xi} \right)'''_{2155} \right\}$
 und $\left\{ \left(\frac{\partial u}{\partial \eta} \right)''' - \left(\frac{\partial u}{\partial \eta} \right)'''_{2103} \right\}$ konnte nun in der Karte Fig 14
 ihrer Richtung und Größe nach am dem betreffenden
 Punkten eingetragen werden. Diese Resultante ist
 in der Karte mit $\left(\frac{\partial u}{\partial s} \right)'''$ bezeichnet.

Dasselbe geschah für die zweite Annahme ent-
 sprechend, für die relative Lathablenkung von 3 Sekunden
 zwischen B und C, auf der Karte N-15.

Die Karten enthalten auch einige andere dem quadra-
 tischen Netze gelegene Punkte, welche in der Tabelle
~~keine Aufnahme fanden~~ ^{keine Aufnahme fanden} ~~und~~ ^{von} deren Übersichtlichkeit
 nicht zu stören

Eine ~~sehr~~ gut überblickliche Darstellung erhielt ich
nach auf folgendem Wege. Ich berechnete die den Werten

$$\left(\frac{\partial U}{\partial \xi}\right)'' - \left(\frac{\partial U}{\partial \xi}\right)'_{2103} \text{ und } \left(\frac{\partial U}{\partial \eta}\right)'' - \left(\frac{\partial U}{\partial \eta}\right)'_{2103}$$

entsprechenden Potentialdiff.
von $U'' - U'_{2103}$, welche als Störungen des Potentialwertes
mit ΔU bezeichnet werden sollen. Die jedem Punkte

entsprechenden Werte von ΔU sind in die Karte
eingetragen ~~gezeichnet~~, und es ~~sind~~ ^{werden} auch die Linien gleicher
 ΔU in Abständen von 2 Einheiten von der Ordnung
 10^3 C.G.S. gezeichnet. ~~Die~~ Setzen wir dann:

$$h = \frac{\Delta U}{g}$$

so bedeutet h die Erhebung der Niveaufläche
über dem Normalellipsoid E , welches durch den
Anfangspunkt 2103 gelegt ist, ~~und diese Höhe h~~
~~ist durch die Anzahl der 10^3 C.G.S. Einheiten des ΔU Wertes,~~
und die Zahl welche ΔU in Einheiten der Ordnung 10^3
ausdrückt, misst auch diese Erhebungen in Centi-
metern ~~hin~~ mit einer Verunstärkung von ~~ca~~ ^{ungefähr}
zwei Prozenten.

Bemerken will ich noch das ~~da~~ ^{da} ~~die~~ ~~Darstellung~~
 die ~~Beobachtungen~~ in ~~die~~ ~~Gebiete~~ die ~~Beobachtung~~
 selbst noch zu ergänzen sind auch ~~die~~ ~~Darstellung~~
 keine endgültige sein kann es dass ~~der~~ ^{derselben} mehr des
 Werth eines ~~beobachteten~~ ~~über~~ ~~richtlichen~~ Skizze als
 einer genau ausgeführten Zeichnung beizulegen ist.

III Anwendung auf Untersuchungen über die Massenverteilung in der Erdkruste

Die große Empfindlichkeit ^{mit} welcher die Drehwaage
alle Abweichungen von ^{concentrischen} der Kugelgestalt der
~~Erdoberfläche~~ ~~ergründet~~ Erdoberfläche und
auch der im Inneren der Erde gelegenen Trennungs-
flächen verschieden dichter Materialien anzeigt
~~macht dieses Instrument~~ ~~sehr~~ macht dieses
Instrument besonders dazu geeignet Aufklärungen
~~über die Massenverteilung~~ über Massenverteilungen
zu geben welche ~~für~~ auch für den Geologen
von Interesse sind. die Karte Fig 8 zeigt
Schon das Bild welches ~~Fig. 8~~ ~~zeigt~~
kann als Beleg für diese Behauptung dienen.
~~Man sieht hierin~~ Man sieht doch wie sich
das von Ostasien hergehende Gebirge unter die
alluvialen Gebilde verliert, ja es ist möglich
auch die Größe dieser Vertiefung anzunehmen.

zugeben. Wird näherlich angenommen dass
 die durchschnittliche Dichte der Gesteine = 2,7,
 die der darauf liegenden Alluvialgebilde = 2,0
 ist, dann entspricht ~~der Fund~~ ~~in der Höhe des Fund~~
~~(nach der Formel $\Delta g = 2\pi G(\sigma' - \sigma)h$)~~
 $\Delta g = 2\pi G(\sigma' - \sigma)h$

~~Entsprechend~~ einer ~~Vergrößerung~~ Vergrößerung $\Delta g = 0,001$ C.S.S.
 amähernd
 eine ~~kleine~~ Vertiefung der ~~der~~ ~~Distanz~~ Distanz Gesteines um
 38 Metern, die um 0,002 C.S.S. absteigend
 insgesamt erhalten ~~also~~ die Bedeutung von
 Schichtenlinien ~~den~~ ~~Abstand~~ ^{die welche} des Höhen Differenz
 um 76 Metern entsprechend aufeinander folgen.

Eine solcher Schlussfolgerung ist natürlich
 nur insoweit ~~erlaubt~~ ^{zulässig} ~~da~~ ~~wir~~ ~~als~~ ~~wir~~ ~~mit~~ ~~Annahme~~ ~~als~~
 berechtigt ^{erscheint} ~~und~~ ~~da~~ die die Schwere Störungen
 allein durch diese eine direkte Differenz hervorgerufen
 werden. Naturlich scheinen ~~aber~~ ^{aber schon} ~~in~~ ~~diesem~~
 angeführten Beispiele auch tiefer gelegene Massen
 mitzuwirken, da das regelmäßige anwachsen

Der Beobachtung von der Nördlichen Station
 2215 in südlicher Richtung bis zur Station 2138
 die Vermuthung erlaubt dass die Faltung der
 Schiefer auch östlich von Arad weitergeht und sich
~~vielleicht~~ noch in grosser Entfernung ^{unter} ~~der~~ des Tieflandes
 fortsetzt, ja vielleicht an dem westlichen Rande
 des Alpid wieder zu Tage tritt.

~~Wegen~~ Das Es wäre aber sehr verfrüht auf Grund
 des bisher zur Verfügung stehenden ^{mangelhaften} Beobachtungs-
 materials derartigen ~~strenge~~ Vermuthungen
 den Werth strenger Schlüsse ^{hier zu legen} ~~bestimmen zu können~~.

~~Was ich hier darlegen will ist~~

~~Ich will nicht hier nur auf die Empfindlichkeit~~

~~des Instrumentes~~

Mich diesmal auf eine Darstellung der Empfind-
 lichkeit des Instrumentes beschränkend, will ich
 hervorheben, dass ^{hier} diese je nach der Lage der
 ansehnenden Massen eine ~~verschiedene~~ Grade
 ist ~~z. B.~~ in dem Werthe des ^{Gradienten} ~~Gradienten~~ $\frac{244}{252}$ und

~~2.~~ die Krümmung bestimmenden
 $\frac{\partial^2 \eta}{\partial y^2}$, bald in den Werten $(\frac{\partial^2 \eta}{\partial y^2} - \frac{\partial^2 \eta}{\partial x^2})$ und $\frac{\partial^2 \eta}{\partial x \partial y}$

merklich auffallendes zu Tage tritt.

So ist ~~auf einer~~ einfache Grundlage ~~der Bestimmung~~
~~der Anziehungswirkungen~~ gestützt ~~auf einfache~~ ~~Rechnungen~~
~~beruhen~~ sich ~~die~~

So ~~ist~~ ~~an~~ ~~z.B.~~ ~~eine~~ ~~kurze~~ ~~Rechnung~~ dass im Falle
einer ^{sich} unter ^{den} Beobachtungsweite weit erstreckenden

~~Ergebnisse~~ geneigten Ebene, an deren beiden Seiten
in ~~der~~ ^{die} Dichte Differenz von $\sigma' - \sigma = 0,7$ (wie vorher)

besteht der Werth der Gradienten $\frac{\partial \eta}{\partial s}$ ~~ohne~~ ~~dass~~
die messbare Größe ~~eines~~ Einheits der Ordnung

10^{-7} ^{schon dann} erreicht, wenn ~~die~~ Neigungswinkel ^{gleich} 8 Minuten
~~ist~~ ~~beträgt~~ ~~also~~ die Erhöhung 4 Meter ~~ist~~

pro Kilometer beträgt. Die Krümmungsdifferenzen
sind in diesem Falle gleich null.

Seitlich ⁱⁿ ^{nahe} ~~der~~ ~~horizontalen~~ ^{Richtung} ~~der~~ ~~gelegene~~ Massen

~~über~~ ~~das~~ ~~ganze~~ ~~minimale~~ ~~Einfluss~~ bewirken ~~das~~ ~~ganze~~
aus ~~kleine~~ ~~der~~ Gradientenwerte, während Sie auch
in grossen Entfernungen fühlbar bleiben in den
die Krümmung bestimmenden Werten.

Diese Messabweichung entspricht eine Störung der Benetzung welche
~~Die Benetzung~~ wächst ~~deutlich~~ ^{anwächst} von
 F über 0 nach F' ~~an~~ und erreicht und ihrem
 größten Werth ~~in der Entfernung~~ ~~erreicht~~
~~erreicht~~ ~~die~~ ~~rechts~~ ~~und~~ ~~links~~ ~~von~~ 0 in
 gleicher Entfernung ~~links~~ erreicht. ~~Erst~~ Diese Störung ^{ist}

$$\Delta g = 2\pi S(\sigma' - \sigma)D$$

wobei D die Dicke der Platte (Höhe der Stufe) bedeutet.

Leicht berechnet sich auch der Gradient $\frac{dg}{ds}$
 in auf die Stufe normaler Richtung, es ist nämlich:

$$\frac{dg}{ds} = 2S(\sigma' - \sigma) \log \frac{r_2}{r_1}$$

Dieser Gradient wächst ~~ab~~ ^{von} F bis 0 und nimmt
 nach dem dort erwähnten Maximum von 0 bis F'
 wieder ab.

~~Hieraus ergibt sich~~ ~~erhält~~ ~~man~~, ~~das~~ Das Pendel ^{ist demnach wohl}
~~beruht~~ ~~ist~~ die Anwesenheit dickerer Massen
 anzudeuten, ~~wird~~ die Erforschung ihrer
 Grenzen also der tektonische Linien ^{ist aber} eine Aufgabe
~~ist~~, welche mehr der Drehwaage anfällt.

Wie entsprechen nun diese beiden Instrumente
ihrer ~~Bestimmung?~~^{Bestimmung?}

Sei z. B. die Höhe der Stufe = $0,5$ ^{cm} ~~die~~
Dichtedifferenz $\sigma' - \sigma = 0,5$.

Es wird dann (unabhängig von der Tiefenlage) ~~die~~

$$\Delta g = \dots$$

$$\Delta g = 0,01 \text{ C.S.S.}$$

also etwa ein Hundstausenstel von g , eine Größe
welche ~~nahe~~ nahe der Grenze der Empfindlichkeit
des Pendels liegt, jedenfalls mit diesem Instrumente
nur mit besonderer Sorgfalt bestimmt werden kann,
~~und zwar dies auch nur als Differenz der Werte zwischen~~
~~weit voneinander liegenden Punkten.~~

Die Drehwaage hat ~~hier~~ in demselben Falle ein
viel leichteres Spiel. Sie kann die Anwesenheit
der Stufe bis zu grossen Tiefen $(OB) = 10$ durch Wirkungen
verrathen, welche ihre Empfindliche Nullsgrenze ($1 \cdot 10^{-9}$ für $\frac{dg}{ds}$)
weit übertreffen. Folgende kleine Tabelle giebt
die Werte der $\frac{dg}{ds}$ für verschiedene Tiefen (C).

Tiefe $OB = c$	$10^3 \frac{2g}{2a}$
10 Meter	268
100 Meter	119
1 Kilometer	27
10 Kilometer	3,3
30 Kilometer	1,1

≠

Zweites Beispiel. ~~Isostatische~~ Plattenförmige Scholle

in isostatischer Lage. ^{In noch größerem Stab} Die Verhältnisse des Drehmoments über

dem Pendel ~~gegebener~~ ~~traktion~~ ~~und~~ ~~sich~~ ~~dadurch~~
~~aus~~ wenn ~~mit~~ ~~der~~ ~~Wirkung~~ ~~isostatischer~~ ~~über~~
~~gelegter~~ ~~Massen~~ ~~in~~ ~~Bestimmung~~ ~~wird~~ ~~aus~~
ihren ~~Aufstrebungs~~ ~~Wirkungen~~ ~~aus~~ ~~den~~ ~~Schwerkraft~~ ~~Störungen~~
~~aus~~ ~~dem~~ ~~Masse~~ ~~er~~ ~~er~~ ~~sucht~~ ~~wenden~~ ~~sollen~~ ~~welche~~ ~~isostatische~~
Lagerung ~~aneinander~~ ~~gereicht~~ ~~sind~~. ~~Fig. 17~~ ~~gibt~~

~~Fig. 17~~ ~~stellt~~ ~~ein~~ ~~solches~~ ~~isostatische~~
Lagerung ^{isostatische Lagerung ist} Eine solche ~~Fig. 17~~ ^{durch die} ~~Fig. 17~~ ^{Dargestellte}.

Eine Plattenförmige ~~Scholle~~ ~~von~~ ~~der~~ ~~die~~ ~~die~~ ~~die~~
heißt ~~aus~~ ~~in~~ ~~dem~~ ~~größten~~ ~~Maße~~ ~~in~~ ~~dem~~ ~~größten~~ ~~Maße~~

Eine plattenförmige ^{beste} Scholle bedeckt mit Massen
geringeren Dichtigkeit liegt auf sich ~~in~~
Richtung ~~in~~ ^{weit ausbreitenden Massen} ~~unendlich erstreckenden~~ ^{und versinkt sich dabei} grösserer Dicht-
heit ~~in~~ ⁱⁿ diese so tief ~~unter~~ ^{es} als ~~es~~
geschehen würde im Falle dass die ober ihr und
unter ihr liegenden Massen Flüssigkeiten wären.

~~Es~~ Die betreffenden Dicken seien für die Scholle
 $\sigma_2 = 2,5$, für die ~~unter~~ ^{diese} gelagerte Masse $\sigma_1 = 2$,
für die unterste Masse $\sigma_3 = 3$. Die Gerade FF bezeichnet
wie ξ vorher die ebene Erdoberfläche und es sei
 $OA = \frac{1}{2}D$, wo $D = AB$ die Dicke der schwimmenden
Scholle bedeutet.

Durch wiederholte Anwendung der schon im vorange-
henden Beispiele gegebenen Formel kann der Gradient
 $\frac{dg}{ds}$ berechnet werden. Das Resultat dieser Rechnung
ist L in der Figur durch die voll ausgezogene Linie
a-a dargestellt deren ober und unter FF gelegene Coordi-
naten ~~mit~~ ~~mit~~ dem positiven resp. negativen Werthen
von $\frac{dg}{ds}$ proportional sind. In dem Punkte O , vertical

oberhalb der Grenzlinie der Schalle erreicht diese
Größe den positiven Werth von $19 \cdot 10^{-9}$ C.S.S. nimmt
von da nach beiden Seiten ab und ^{wird dann} in den Punkten
E und F den Werth Null erreichend ~~und~~ in noch
größerer Entfernung ~~von~~ negativ.

Die diesen Werthen entsprechenden Wirkungen bleiben
~~für~~ für geometrisch ähnliche Massen groupirungen
immer dieselben ~~ist~~ sind also ^{also bei allen Dimensionen / genügend groß} ~~in~~
nur von der Drehwaage ^{nicht} ~~we~~ ^{nicht} ~~genommen~~ ^{genommen} ~~und~~ ^{gemessen}
und gemessen werden ⁱⁿ ~~in~~ ^{Können} ~~in~~ ^{werden}.

Nicht so die auf das Pendel ausgeübten Wirkungen.
Die ~~in~~ ^{anzunehmen} ~~des~~ ^{isostatische} ~~Figur~~ ^{Massen} ~~vertheilung~~
entsprechende Beschränkung ^{ist} ~~in~~ ^{unendliche} ~~von~~ ^{Herung} ~~von~~ ⁰
~~Entfernung~~ auf beiden Seiten dieselbe wie ^{Punkte selbst} ~~an~~ ^{diesem} ~~Punkte~~ ^{selbst,}
in endlicher Entfernung aber auf der ~~links~~ linken Seite
etwas kleiner, auf der rechten etwas größer als dort.
Am größten ist ~~die~~ ^{im} ~~Werte~~ ^G ~~am~~ ^{kleinsten}
in E. Die bewirkte Störung aber der Δg , welche
^{unter} ~~mit~~ Beibehaltung der geometrischen Ähnlichkeit

mit der Dicke δ proportional ist, erreicht für
 geologische wahrscheinlichen Dimensionen — nur
 sehr kleine Werthe. ~~So ist Δg im Falle dass~~
 ~~$\delta = 1$ Kilometer~~ Für $\delta = 1$ Kilometer ist $\Delta g = 0,001$ C. S. S. und
 für $\delta = 10$ Kilometer ~~noch~~ $\Delta g = 0,010$ C. S. S.

Es ist also kaum zu erwarten dass das Pendel
 über das Vorkhandensein solcher im Erdinnern
 vertorzten isostatischen Massen anordnungen
 Aufschluss, ertheilen könnte.

~~Praxis eignet sich dazu~~
 Selbst das Loth eignet sich besser dazu, ~~so~~
 ist ~~es~~ ~~aber~~ die denn die ~~Lothablenkung~~
 seine Ablenkung erreicht im Punkte O den
 Werth von 3 Sekunden im Falle dass ~~die~~ ~~Loth~~
 $\delta = 10$ Kilometer, und 0,3 Sekunden wenn $\delta = 1$ Kilometer.

Die Drehwaage ist aber auch betreffs der Erkennung
 solcher Krümmungsstörungen — ~~in~~ in gewissen
 Vortheile.

In der Figur habe ich die Werthe von $\frac{\partial^2 \eta}{\partial x^2}$ ables

Da $\frac{\partial^2 U}{\partial y^2}$ in diesem Falle gleich Null ist, die gleichbedeutenden Werthe von $(\frac{\partial^2 U}{\partial x^2} - \frac{\partial^2 U}{\partial y^2})$ für die ~~mit der~~ ~~Pendelung~~ ~~FF~~ ^{Durch} ~~mit~~ einer gebrochenen Linie b.-b. dargestellt. Dem Maximum links von 0 entspricht ein Werth von $+12 \cdot 10^{-9}$ C. S. S., dem Minimum rechts von demselben Punkte der Werth von $-12 \cdot 10^{-9}$ C. S. S.

Ich glaube an diesem Beispiel ^{genügend} ~~überzeugend~~ ~~erweisen~~ ~~genügt~~ ~~bestimmen~~ zu haben, ^{da} ~~da~~ die Drehwaage ^{benutzt} ~~benutzt~~ in solche Aufstellungen über den Bau der Erdrinde zu geben auch in solchen Fällen wo Pendel und Lath ^{wenigstens} in ihrer heute gebräuchlichen Form sich ~~zu~~ ~~derartigen~~ ~~Fragen~~ gegenüber stehen verhalten.

Beziehung zwischen den
IV Störungen der Schwerkraft und der
Erdmagnetismus.

Es kann kaum bezweifelt werden
Dass Massen magnetischer Gesteine magnetische Stö-
rungen auch grössere Gebiete bewirken können
~~ist~~ ~~die~~ ~~bezeichnet~~ ~~werden~~. In die Höhe Rübner
und Thorpe haben ~~gezeigt~~ ~~dass~~ ~~in~~ ~~den~~ ~~Beobachtungen~~,
welche sie gezeigt dass ~~es~~ ~~ausreichen~~ durch
gerunde Annahmen über ~~etwa~~ die Verteilung
solcher Massen auch so ~~große~~ ^{bedeutende} Störungen erklärt
werden könnten wie die ~~auf den britischen Inseln~~ ^{auf den britischen Inseln} ~~erfundenen~~ ~~Störungen~~
~~welche~~ ~~von~~ ~~Kennedy~~ ~~beobachtet~~ ~~wurden~~.

^{Trotzdem}
Trotz ist es bisher nicht gelungen ~~die~~ ~~Störungen~~
~~magnetische~~ ~~den~~ ~~Störungen~~ ^{die magnetischen}
Störungen mit ^{System der Schwerkraft} ~~Schwerkraftstörungen~~ ^{derartig} ~~bestimmt~~
in engerer Zusammenhang zu bringen, dass
beide Arten der Störungen ^{als} ~~als~~ ~~von~~ ~~denselben~~ ~~Massen~~
herührend betrachtet ~~werden~~ ~~könnten~~.

J. Lignas ~~dem~~ ~~die~~ ~~des~~ in seinem ~~veröffentlichten~~
 mustershaften Werke "Die Verteilung der erdmagne-
 tischen Kraft in Österreich Ungarn" die ~~Verteile~~ ~~des~~
~~Schwermetalle~~ eine interessante Zusammenstellung
 beider Störungen ^{an} ~~an~~ 55 ~~Beobachtungs~~ Stationen
 mitteilt, gelangt ~~auf Grund~~ ~~der~~ auf dieser
 reichen Beobachtungsmaterial gestützt zum Schlusse
 dass "im Allgemeinen eine Beziehung zwischen
 den Störungen der Schwere ^{und der Erdmagnetismus} nicht bestehen kann."

~~Die Ursache dieser auffallenden magnetischen~~
~~Beobachtung könnte~~ ~~darin~~ ~~gesucht~~ ~~werden~~ ~~dass~~
~~Es ist möglich~~ ~~dass~~ ~~an~~ ~~den~~ ~~magnetischen~~
~~Störungen~~ ~~Die~~ ~~Ursache~~ ~~dieser~~ ~~auffallenden~~
~~Resultats~~ ~~Widerspruchs~~ ~~Könnte~~ ~~darin~~ ~~gesucht~~ ~~werden~~,
 dass ~~an~~ ~~den~~ ~~magnetischen~~ ~~Störungen~~ ~~entsteht~~ ~~aus~~
 von ~~den~~ ~~magnetisch~~ ~~wirkenden~~ ~~Gesteinen~~ ~~entsteht~~ ~~von~~

Unregelmäßigkeiten der Erdströme ~~hervorgehen~~
 hervorgehen können
 hervorgehen ~~wären~~, doch glaube ich, dass eine

bessere Erklärung geben zu können.

So lange näherlich als ~~der~~ ^{der Lage} ~~der~~ ^{der} ~~Störung~~ ^{Störung}

~~jene Störungen~~ nur zur Beschreibung jener Störungen benutzt wird welche mit dem Pendel und mit dem Lothe direkt beobachtet werden, ^{Könnte ist} ~~es~~ ^{es} ~~unmöglich~~ ^{unmöglich}

Ursächlich nicht möglich einen Zusammenhang festzustellen ~~von~~ ~~Keinem~~ ~~Zusammenhang~~ ~~gesprochen~~ ~~werden~~

zwischen den ~~betroffenen~~ ~~beidseitigen~~ Störungen desselben ~~des~~ ~~Ortes~~.

~~Die~~ ~~man~~ Sie von einer ~~magnetischen~~ ~~Masse~~ ausgeübte magnetische Kraft ~~ist~~ ~~näherlich~~ ~~nicht~~

ist näherlich nicht mit ~~der~~ ^{der} ~~ihre~~ ~~Anziehungskraft~~ sondern mit dem Gradienten dieser Anziehungskraft proportional.

Wenn X, Y, Z die Componenten der magnetischen Kraft bezeichnen welche eine Masse anzieht, für welche die Componenten der Magnetisirung ~~des~~ ~~magnetische~~ ~~Zustand~~ ~~Componenten~~ X, Y, Z

^{Constant} Ω sind, ~~des~~ ~~des~~ ~~Potential~~ ~~des~~ ~~Massenanziehung~~

γ die Gravitationskonstante und σ die Dichte
bedeutet, dann bestehen ~~die Gleichungen~~ ~~haben~~
die Gleichungen:

$$X = \frac{\alpha}{g\sigma} \frac{\partial^2 V}{\partial x^2} + \frac{\beta}{g\sigma} \frac{\partial^2 V}{\partial x \partial y} + \frac{\gamma}{g\sigma} \frac{\partial^2 V}{\partial x \partial z}$$

$$Y = \frac{\alpha}{g\sigma} \frac{\partial^2 V}{\partial x \partial y} + \frac{\beta}{g\sigma} \frac{\partial^2 V}{\partial y^2} + \frac{\gamma}{g\sigma} \frac{\partial^2 V}{\partial y \partial z}$$

a)

$$Z = \frac{\alpha}{g\sigma} \frac{\partial^2 V}{\partial x \partial z} + \frac{\beta}{g\sigma} \frac{\partial^2 V}{\partial y \partial z} + \frac{\gamma}{g\sigma} \frac{\partial^2 V}{\partial z^2}$$

~~Im Falle dass die~~ ~~unveränderlich~~

Im Falle nicht homogener Magnetisierung gelten
diese Gleichungen nur für ^{sehr kleine} ~~ein~~ Raumelemente der Masse,
und wenn ~~die~~ ~~Massen~~ in eine andere eingeschlossen
ist dann sind die Größen α, β, γ ~~noch~~
und σ durch ~~ihre~~ ^{nach} ~~ihre~~ Differenzen ^{zu ersetzen} ~~zu ersetzen~~,
den bei derartigen Messungen entsprechenden ~~zu ersetzen~~

Mit Benutzung der Beziehung $\Delta V = 0$

erhalten wir dann: ~~folgende Beziehungen~~:

$$\begin{aligned}
 X\beta - Y\alpha &= \frac{\alpha\beta}{g\sigma} \left(\frac{\partial V}{\partial x_1} - \frac{\partial V}{\partial y_1} \right) + \frac{(\beta^2 - \alpha^2)}{g\sigma} \frac{\partial V}{\partial x_2} + \frac{\beta\gamma}{g\sigma} \frac{\partial V}{\partial x_3} - \frac{\alpha\gamma}{g\sigma} \frac{\partial V}{\partial y_3} \\
 2\gamma X + \alpha Z &= \frac{\alpha\gamma}{g\sigma} \left(\frac{\partial V}{\partial x_1} - \frac{\partial V}{\partial y_1} \right) + \frac{2\beta\gamma}{g\sigma} \frac{\partial V}{\partial x_2} + \frac{(2\gamma^2 + \alpha^2)}{g\sigma} \frac{\partial V}{\partial x_3} + \frac{\alpha\beta}{g\sigma} \frac{\partial V}{\partial y_3} \\
 2\gamma Y + \beta Z &= -\frac{\beta\gamma}{g\sigma} \left(\frac{\partial V}{\partial x_1} - \frac{\partial V}{\partial y_1} \right) + \frac{2\gamma\alpha}{g\sigma} \frac{\partial V}{\partial x_2} + \frac{\alpha\beta}{g\sigma} \frac{\partial V}{\partial x_3} + \frac{(2\gamma^2 + \beta^2)}{g\sigma} \frac{\partial V}{\partial y_3}
 \end{aligned}$$

~~Stand im Falle von~~

Wieder der Zusammenhang zwischen den magnetischen Wirkungen und jenen Größen ausgedrückt ist, welche mit Hilfe der Drehwaage zu ermitteln sind.

Im Falle dass die magnetischen Massen längs ~~einer Geraden~~ einer Geraden z. B. ⁱⁿ der Richtung des y gleichmäßig vertheilt sind, oder ~~eine~~ ~~Stufen~~ bilden wie sie in den Figuren 16 u. 17 des vorangehenden Kapitels dargestellt sind, oder ~~im Falle~~ ~~gerader~~ (magnetisch telestatische Linien) ~~vereinfachen sich~~ ~~und diese~~ kann ^{man} diese Gleichungen durch ~~die~~ ~~viel~~ einfachere ersetzen:

ein Maß für

Man die Wirkung solcher Gesteine zu erhalten
~~Wollen wir Beispiele~~ ~~lassen~~ ~~wollen~~ wir ~~für~~ die
 Dichte Differenz den Wert $\delta = 0,5$ annehmen und $A = 0,2$
 $C = 0,4$ setzen, dann geben die Formeln (2)

$$X = 0,006 K \cdot 10^9 \frac{\partial^2 U}{\partial x^2} + 0,012 K \cdot 10^9 \frac{\partial^2 U}{\partial x \partial z}$$

$$Z = -0,012 K \cdot 10^9 \frac{\partial^2 U}{\partial x^2} + 0,006 K \cdot 10^9 \frac{\partial^2 U}{\partial x \partial z}$$

~~Die~~ größten Werte von $10^9 \frac{\partial^2 U}{\partial x^2}$ und $10^9 \frac{\partial^2 U}{\partial x \partial z}$ wie
 ich sie wiederholt gefunden, also etwa für Werte
~~von~~ ≈ 50 C.S.S. ~~und darüber~~ ~~wird dann~~ kann demnach X und
~~die~~ Z Werte erreichen welche

und wir können uns leicht überzeugen dass
 schon an Orten wo die Drehwaage Gradientenwerte
 von einer ~~Einheit~~ von einer 10^{-7} Einheit anzeigt ~~von~~
 durch den induzierten Magnetismus der Gesteine her-
 vorgerufene magnetische Störungen möglich sind
 welche ~~welche~~ ^{den Wert} $0,0001$ C.S.S. erreichen also messbar
 sind. Der remanente Magnetismus ~~Kann selbst~~ ^{in manchen Fällen}
~~sich~~ ~~größer~~ ~~und~~ ~~auch~~ ~~in~~ ~~seiner~~ ~~Wirkung~~ ~~bedeutender~~
 wieder, und seine Wirkung kann in manchen Fällen
 noch höher veranschlagt werden.

~~Auf der langen Reihe ~~unser~~ Beobachtungen sind~~

~~Durch diese Daten~~

~~Bis zu einem gewissen~~

An ~~allen~~ ^{allen} Orten wo wir die Drehwaage aufstellten

haben wir auch ~~die~~ die magnetischen ~~Kräfte~~ ^{Leist.}

Zulässigkeitskomponenten bestimmt, ja wir haben

sogar die ~~empfindlichen~~ ^{Leistungen} ~~zwischen den~~ ^{empfindlichen} ~~Stationen~~ durch relative

Bestimmungen der Horizontalintensität und der

Declination ausgefüllt. ~~und es ist ein reiches Mate-~~

~~riale gesammelt~~ Das reiche Beobachtungsmaterial hat

theilweise auch der Bearbeitung und es wäre ^{hier} auch ~~in~~

richtig an Plätze ^{daselbe} ~~ausgehendes~~ ~~und~~ ~~an~~ ~~die~~ ~~die~~

zu behandeln. Erwähnen will ich nur, dass ich

an manchem Orte magnetische Störungen fand, welche

~~den Angaben der Drehwaage entsprechend~~ ^{der Wirkung} ~~ausgehen~~

magnetischer Gesteine ~~entstehen~~ ~~aus~~ ~~mit~~ ~~Beobachtung~~

~~der Drehwaage~~ ~~zusammen~~ ~~mit~~ ~~den~~ ~~Angaben~~ ~~der~~

~~Drehwaage~~ ~~entprechen~~ ^{auf} ~~den~~ ~~wichtigen~~ ~~magne-~~

~~lischen~~ ~~Gesteine~~ ~~zurückzuführen~~ ~~sind~~. Doch fand

ich auch ~~Störung~~ wie im Gebiete der Franka
 Gne auch solche sich ~~mit~~ ~~erfordernde~~ Menge. ^{mit auffallender Regelmäßigkeit wie} ~~bedeutende~~ ^{erstreckende}
 lische Störungen, ~~unter~~ deren Größe und räumliche
 Verteilung ^{eige} ~~die~~ Erklärung durch magnetische Gesteine
 kaum zulässt. ~~Das Messen eines~~ ^{Wegen} ~~von~~ ^{mit} ~~dem~~ ^{einzelnen} ~~einzelnen~~ ^{von} ~~einzelnen~~
~~magnetischen~~ ~~Inducibilität~~, ~~als~~ ~~einige~~ ~~Körner~~
~~da~~ ~~die~~ ~~Erklärung~~ Wahrscheinlich haben wir hier
 mit Massen viel größerer Inducibilität also
 mit Eisenoxen ^{them} ~~en~~ ^{vielleicht} mit den Wirkungen
 von Erdströmen. ~~Die Drehwaage soll~~
~~zum~~ ~~Bei~~ ~~der~~ ~~Aufklärung~~ solcher Rätsel
 wird die Drehwaage gewiss gute Hilfe leisten.

Zum Schluss will ich noch bemerken ^{den} ~~es~~ ~~erfordert~~ ^{wird} ~~und~~
 auf Grundlage der Formeln a) b) c) ~~und~~ ^{wird} ~~das~~
~~die~~ ~~Lösung~~ ~~der~~ ~~Aufgabe~~ ~~erfordert~~
~~sein~~ ~~erfordert~~ ~~die~~ ~~im~~ ~~Falle~~ ~~homogener~~
 Magnetisierung deren Cosinanten $d \cdot p \cdot \gamma$ ~~zu~~
 auch für ganz unregelmäßig gestaltete Massen
 in deren unmittelbaren Nähe mit ~~Hilf~~ ~~der~~ ~~von~~ ~~den~~
 der Drehwaage ~~und~~ ~~mit~~ ~~magnetischen~~ ~~Messinstrumenten~~ ~~zu~~ ~~bestimmen~~ ~~ist~~